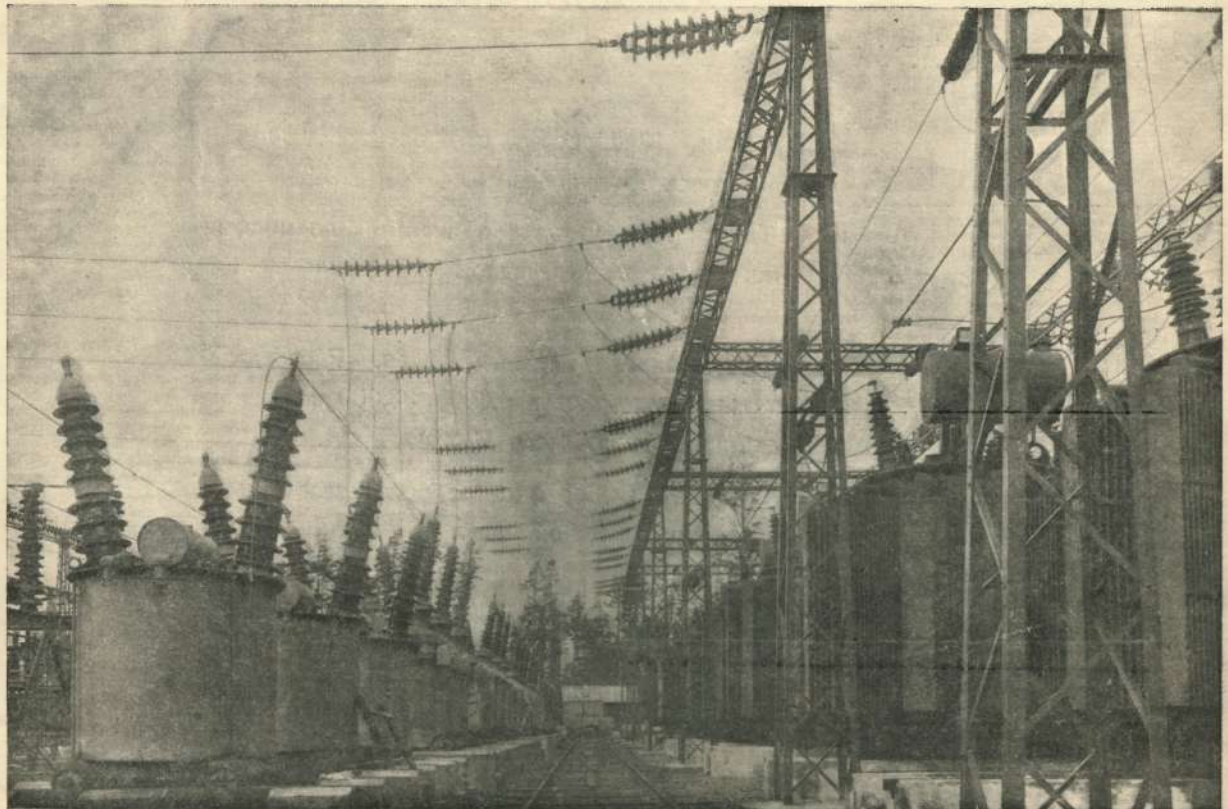


Б
Р
Д
Л
Е
Т
Н
Ь

V

С. Шилов
С. Е. Симон



ИНЖКОЛЛЕКТИВОЕ

МОГЭС

1 9 2 8

Бюллетень Инжколлективов МОГЭС

№ 5

Сентябрь—Октябрь

1928 г.

Адрес издательства и редакции: Москва, Раушская набережная, д. № 8,
здание Правления МОГЭС, 4-й этаж, комн. 22. Телефон 2-62-50, добавочный 75.

К вопросу о новой электростанции в Московском районе.

П. Ловин.

СОДЕРЖАНИЕ:

Стр.

К. П. Ловин.—К вопросу о новой электростанции в Московском районе	41
И. Г. Тихомиров.—Опыты по скижанию подмосков- ного угля в пылевидном состоянии на Ка- ширской ГЭС	52
П. Г. Грудинский и И. М. Иофьев.—Распредели- тельные устройства 6.600 и 33.000 вольт под- станций Московского Кольца	58
С. Е. Шицман. Выбор мест отбора пара для подо- грева питательной воды	63
П. В. Савельев.—Причины механических повре- ждений однофазных дроссельных катушек в электрических сетях 30.000 вольт	66
И. П. Янушевский.—Качество подмосковного угля, поступающего на Каширскую ГЭС	68
Н. А. Поляк.—Электропередачи 220.000 вольт	70
Хроника	76
Из книг и журналов	78

В № 4 Бюллетеня, в статье «План расширения станций и сетей МОГЭС» на летищне по 1927/28 г. по 1931/32 г.* на-
ми были приведены данные о максимальных нагрузках и
мощности станций. Из этих данных видно, что к 1931/32 г. ма-
ксимальные нагрузки станций достигают цифры 410.000 квт.
при мощности станций в 100.000 квт. Цифры эти предполо-
гали скопление в центре города, а потому и исчисление
суммарной мощности станций —иных в виду устройства
оборудования на станциях, поставившую возможность вымы-
тия из строя отдельных единиц и уменьшения следова-
тельно, мощности станций —так как в отношении максималь-
ных нагрузок неизвестно было обстоятельство, исчисли-
вшее нагрузку на 410.000 квт., как это доказывает тема воспро-
стации потребления электрической энергии за последние
годы. Если, например, взять производственную программу
истекшего 1927/28 года, то мы увидим, что она была опреде-
лена в 729 млн. квт., с увеличением против действительной
потребляемой 118 млн. квт. или на 58% и с уменьшением
между тем, фактически было отпущено из истекшего 1927/28
год 751 млн. квт., с превышением отпуска предыдущего года
на 180 млн. квт. или на 30%.

Главнейшими факторами, влияющими на быстрое увели-
чение эмиссии нагрузок в общем течении электростанции
являются: 1) быстрое увеличение пропускающей способности
собственных силовых установок на крупных фабри-
ках и заводах и необходимость присоединения их к сетям
МОГЭС, увеличение населения Москвы, электрификация рабо-
бочих окраин и населенных пунктов района и т. д.

В следующей таблице приведен предполагаемый рост на-
грузки установленной мощности на станциях МОГЭС за
период 1931/32—1936/37 гг.

Годы	Предполагаемый максимальный нагрузки в тыс. квт.	Прирост макси- мальной нагрузки в процентах году	Недостаточ- ность мощности на станции при ре- зерве около 20%	Предполагаемые суммарные мак- сиимальные нагрузки на станицы МОГЭС	Предполагаемая недостаточ- ность
				тысячи киловатт	
1931/32	410	20,8	190	475	15,0
1932/33	470	15,0	390	504,5	55,5
1933/34	540	15,0	650	526,4	122,0
1934/35	610	12,0	730	528	202,0
1935/36	680	12,0	815	528	287,0
1936/37	750	10,0	900	528	372,0

Таким образом, уже к 1932/33 году существующие электростанции окажутся недостаточными, так как не смогут обеспечить необходимого для нормальной эксплуатации резерва. Для этого потребуется существенных капиталовложений и то же время будет невозможно присоединять к системе новые станции. Существующие станции, как правило, не могут быть расширены на привозном топливе, при том, главным образом, на нефти, расширять бы бы крайне нецелесообразно и технически весьма затруднительно, так как станции расположены в центре города, чрезвычайно близко к терри-
тории жилья. Эта же самая станция на Симоновке на долгое время должна оставаться роль, так называемой нико-
вой станции. Станция имени Р. Э. Классона не может быть в дальнейшем расширяема, за отсутствием близости сколько-
важных сооружений.

* За счет окончательного расширения Трамвайной ГЭС.

Из приведенной таблицы следует, что для того, чтобы расширить эти обстоятельства, Правление МОГЭС в на-
чале 1927 года подняло перед Президиумом ВСНХ вопрос
о постройке новой турбинной станции в Твери. Правление
согласилось с предложенными доводами, на МОГЭС было решено
разработать несколько вариантов постройки новой электростанции.
Исходя из того, на каком топливе должна работать «будущая электростанция», т. е. на торфе или на подземном угле, Правление МОГЭС было разработано
вариант турбинной станции, расположенной на мощ-
ных торфяных массивах (Тверская станция), 2) станция на
подземном угле, расположенная вблизи самых копей
(станция в Бобриках) и 3) третья Кашира.

Тверская электростанция.

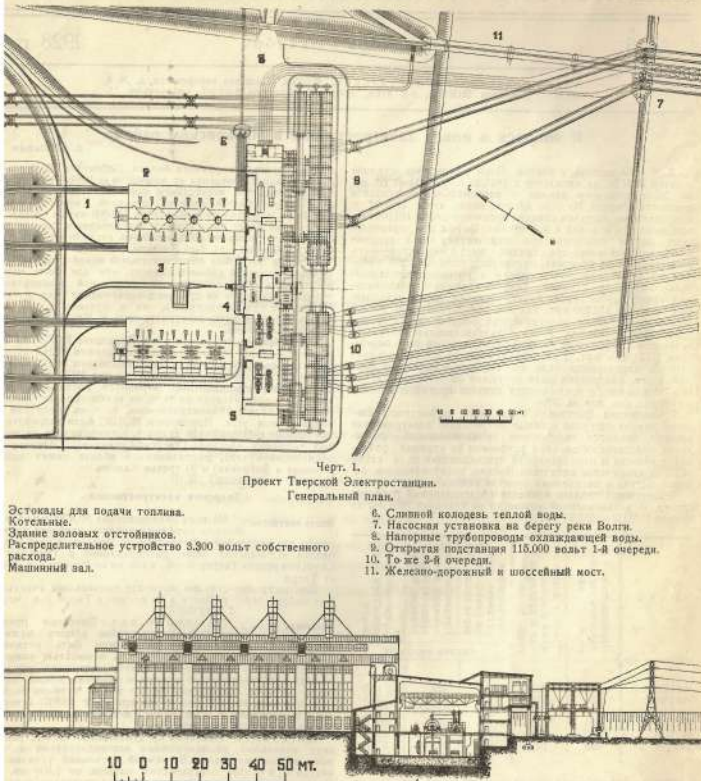
Место постройки. Из всех обследованных МОГЭСом обшир-
ных Московских районов наиболее подходящим для построек
для постройки электростанции оказалось торфяное
болото «Оршинский Мах», расположенного в Тверском и
Каширском уездах Тверской губ., в 150 км от Москвы и в 30 км
от Твери.

Для постройки станции наиболее подходящим участком
была выбрана берег р. Волги в 25 км ниже Твери (см. черт.
1 и 2).

Мощность станции. На машинный зал, проектом предус-
матривалась постройка одного парового маши-
нов, как правило, парового быстрого, установлено
лено 4 двухваловых турбогенератора мощностью каждый
75.000 квт., по 1.600 оборотов в минуту, состоящие из двух
турбин—высокого и низкого давления, общая ко-
щность четырех агрегатов—300.000 квт. В турбины посту-
пает пар давлением 1.100 кг/см², температурой 400°С. Генера-
торы покоятся на 11.000 валах и мощностью по 45.000 квт,
по два на каждую турбину.

Котельная. Проектом предусматривается постройка двух котельных, расположенных перпендикулярно к од-
ному машинному залу. В каждой котельной устанавлива-
ется по 8 котлов, производительностью по 250 квт/час.
Плавающие котлы распределются воздуходоподогревателями
нагревом 8.760 квт, метров на котел. Топки—шахто-
барбанные. Заполнение—гидравлическое. Котлы на дав-
ление пара в 35 атм, при температуре в 450°С (см. черт. 3).

Водоснабжение. Для охлаждения котельных пары тур-
бин необходимо пропустить через конденсаторы 72.000 м³ воды
в час. Для подачи указанного количества воды устанавливается
в 3 насосов производительностью по 15.000 м³ в час.
Генераторы. Главные машины с мощностью
до 45.000 квт, по 4000 квт на пароводяную и гидрав-
лическую установку. Соединение запроектировано группами
также тремя трансформаторами группами та же
мощности. Трансформаторы установлены наружу, вдоль стены машин-
ного зала. Трансформаторы повышают напряжение на 11.000
на 115.000 вольт. Распределительное устройство высокого



Эстакады для подачи топлива.

Котельные.

Здание золовых отстойников.

Распределительное устройство 3.300 вольт собственного

мостового.

Машинный зал.

6. Сливной колодезь теплой воды.
7. Насосная установка на берегу реки Волги.
8. Напорные трубопроводы охлаждающей воды.
9. Открытая подстанция 115.000 вольт 1-й очереди.
10. То же 2-й очередь.
11. Железно-дорожный и шоссейный мост.

Напряжение расположено наружу перед фронтом машинного зала. Главный щит управления размещён в пристройке к центральной части машинного зала.

При 4.000 час. годового использования мощности станции, энергетический коэффициент полезного действия—0,75, расход топлива на 1 кВт·ч—0,003 кг, при 30 час.—в 21,5%. Эти цифры относятся к киловаттам, произведенным на генераторном напряжении. Те величины, отнесенные к отпущенному с шин 115.000 в.

киловатт-часу, равны: при 4.000 час. годового использова-

ния—30,5%, при 3.000 час.—21,3%.

С шин распределительного устройства

даты—115.000 вольт 4 двойных линии идут на

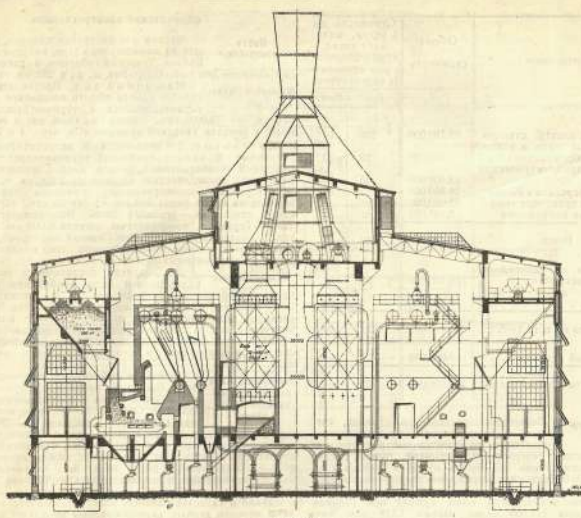
Москву. Линии на металлических опорах.

Рабочий провод диам. 150 мм, изоляция—100 мкм.

Длина трассы электропередачи на Москву—около 150 км,

а суммарная погонная длина одинарных воздушных линий—

8×150=1.200 км. Линии рассчитаны на передачу в Москву



250.000 квт. В Москве линии непосредственно присоединяются к колонне 105.000 в.

Постройка поселка предполагается в 2 очереди: первая очередь при мощности электростанции в 180.000 квт, вторая—на 800 чел. персонала; вторая очередь предполагается в 2-3 раза быстрее постройки при одинаковой мощности. Всего спроектировано персонала, соответственно, 1.200 чел.

Площадь всего болота „Орининский

запас—около 65 гектар, из них под торфозаготовку занято 57.000 гектар. Эксплуатационный запас—160 миллионов тонн торфа средней теплотворной способности топки, аланитистой, 30%—8.220 калорий на килограмм. При постройке станции на полную ее мощность 250.000 квт, она может быть обеспечена торфом на 90 лет.

Добыча торфа запроектирована по гидравлическому способу, сверхстандартными агрегатами производительностью каждый из секторов в 50.000 тонн.

Розничная цена торфа—14, километровыми картами.

Транспорт гидротраска производится торфяными вертикальными и горизонтальными насосами. Магистральный массопровод диам. 756 мм проектируется посередине полей.

Сбор высокшего торфа производится транспортерами типа Хезепер.

Для электрификации болота прокладывается линия 115.000 вольт от электростанции до центральной трансформаторной подстанции 115/50 кв. на болоте.

Транспорт торфа с болота на электростанцию запроектируется при помощи узкоколейной железной дороги в 750 м.

Погрузка производится грейферными гусеничными кранами или транспортерами Хезепер.

При электрической станции расположены торфяной склад на 300.000 тонн, оборудованный 6-ю порталными кранами. Из склада составы по 8 вагонов подаются электровозами по магистральным и железнобетонным эстакадам непосредственно на буровые скважины для разработки торфа. Все операции разгрузки вагонного состава от момента прихода поезда с болота и парк прибытия и кончая спуском в парк отбывания делятся полчаса.

Годовая потребность станции в торфе выражается в следующих цифрах: при 4.000 час. использования в год необходимо будет добывать торфа 1.500.000 тонн (92 млн. пудов); при 6.000 час. 1.844.000 тонн (118 млн. пуд.).

Стомость торфа франко рельсы электростанции, включая amortизацию в 6% на начальную стоимость и обработка торфа в 10% на начальную стоимость, составляет для торфоподачи, но без процентов и капитала, составит по проекту МОЭС: при 4.000 час. использования станции—8 р. 90 к.тонна (14,68 коп./пуд.), а при 6.000 час.—8 р. 70 к.тонна (14,26 коп./пуд.).

При рассмотрении проекта Электропланом ЕСНХ стоимость торфа на складе—1 р. 90 к.тонна (2,1 коп./пуд.) и цифра торфоподачи—1 р. 30 к.тонна (18,75 коп./пуд.) при 6.000 час. использования введена в расчеты.

Капитальные затраты на сооружение станции, электро-передач и турбобоидчики выражаются с изменениями, внесенными Электропланом, в следующих цифрах:

Наименование	Общая стоимость	Стоимость на 1 квадратный метр зданий и сооружений станции (с округлением)		Место постройки	Место для постройки станции, работающей на подмосковном угле, выбрано место стройки. Бобрик, Тульской губернии, в районе станции «Бобрик-Десна». Станция «Бобрик» в 225 км. от Москвы. Мощность станции предполагается 4 турбогенератора, 50 кВт. На территории района, где расположена станция, имеются 4 турбогенератора мощностью по 75,000 квт., такого же типа, как и указанные выше в проекте Тверской станции. (См. черт. 4 и 5).
		Руб.	Коп.		
1. Радионная электростанция.	69,190,000	280	50		
2. Подстанция при станции, сооружения станции	7,030,000	28	50		
3. Постлок при электростанции	13,600,000	45	50		
4. Электропередача в Москву.	26,350,000	87	50		
5. Добыва и транспорт торфа.	62,980,000	207	—		
6. Временные сооружения	3,100,000	10	50		
Всего	181,350,000	604	50		
Проценты на капитал за время постройки	18,150,000	60	50		
Местные линии и подстанции	2,000,000	6	50		
Итого по п. 1—8	201,500,000	671	50		
Оборотный капитал	9,000,000	30	—		
Всего капитальных затрат	210,500,000	702	—		

Значимость энергии. Постоянные расходы по станции, связанные с амортизацией и процентами, а также с начальными единовременными затратами, тем более, что ввиду небольшой производительности станции, расходы на эксплуатацию подземных путей и поездов и пр. составят 26,000,000 руб./год. Переизменение расходов на топливо (без амортизации и процентов) на капитал, который включены в указанную выше сумму) при годовом расходе топлива широким волтам 1185 млн. квт. (5,000 часов использования) и при цене топлива 115,000 руб./т. (5,000 часов использования) — 18,900,000 руб.

Таким образом, стоимость энергии на шинах 115,000 вольт равна: при 4,000 час. использования — 3,38 к., при 5,000 час. — 3,9 к. за квт.—час.

Стоимость энергии переданной в Москву на Московском квт., при 105,000 часов использования — 4,000 час. использования — 4 к., при 5,000 час. — 4,40 к.

Бюджетное финансирование. Вместе с основным проектом постройки электростанции МОГЭС было произведено экономическое обследование района, потребителя будущей электростанции, заселенной земельной территорией радиусом, примерно, 150 км. Общая площадь этой территории, состоящая из 17 уездов, равна 10,000 кв. км.

Обследованный район характеризуется достаточно развитым сельским хозяйством.

Вместе с тем, в связи с малой обеспеченностью населения, наблюдается и рост кустарной промышленности, при чем последний темп выше темпа фабрично-заводской промышленности.

Область фабрично-заводской промышленности преобладает в текстильной промышленности, затем на текстильных фабриках, далее металлообрабатывающей и на последней бумагочной и кожевенной.

Беспеченность населения землей и развитие энергетики в районе создают известные предпосылки для новых промышленности. Из имеющейся в районе фабрично-заводской промышленности может быть в первую очередь промышленность Тверской области, общей мощностью около 37,000 квт. Промышленность сельской местности и кустарной промышленности в электрической части в Тверском районе определяется цифровой порядка 10 квт. Далее необходимо иметь в виду, что проектируется в районе Осташковской ж. д. дороги. Но основная задача Тверской электростанции должна заключаться в подаче электроэнергии в Москву.

Бобриковская электростанция.

Место постройки. Бобрик, Тульской губернии, в районе станции «Бобрик-Десна». Станция «Бобрик» в 225 км. от Москвы. Мощность станции предполагается 4 турбогенератора, 50 кВт. На территории района, где расположена станция, имеются 4 турбогенератора мощностью по 75,000 квт., такого же типа, как и указанные выше в проекте Тверской станции. (См. черт. 4 и 5).

Водоснабжение. Для получения достаточного количества воды для работы станции необходимо создание пруда поверхностью 2,100,000 кв. м. и глубиной 10 м. может быть получена при подаче воды в реке Любополь. Чистые деревянные аван-камеры и два железобетонных тоннеля воды поступают в два заборных колодца размерами в плане 9' x 11 метров, откуда разбрасывается циркуляционными насосами, помещающимися в центральной части машинного зала.

Углесушинская в линии. Проект принят центральная система сушки паром и централизованной подачи угля. Для получения достаточного количества топлива для предполагаемой мощности станции требуется 40% и выше. Опыт работы с пароминами на Каширской ГЭС показал, что влажность пароминов на Каширской ГЭС, имеющихся в наличии, не должна превышать 10%, а с подсушкой горячим воздухом в мельнице 20%. Использование горячего воздуха для подсушки топлива из топливных ящиков не рекомендуется, так как это неизбежно приведет к попаданию из топливных ящиков в пароминов топлива из мельниц. Наличие топлива в мельницах является опасным для рабочих, особенно с шариками в качестве рабочего элемента. Запасы топлива, разбросанные на земле, делают целесообразным выделение их в особое помещение, т.е. переход к централизованному паромину.

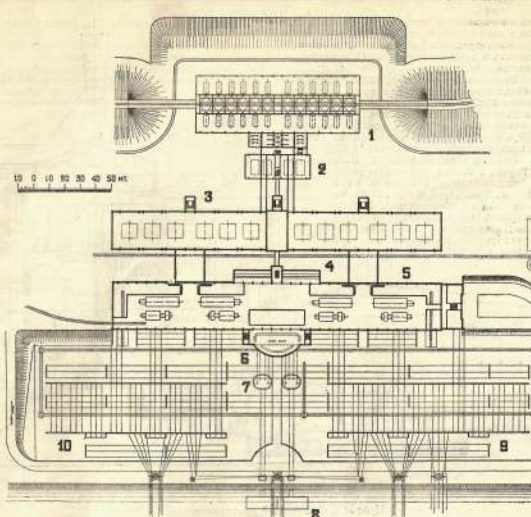
Централизованная углесушинская и выделенная установка размещаются в трех коридорах, расположенных параллельно котельным. В центральной части пароминов установлены на железобетонных колоннах вместо бункера общая емкостью 3,600 тонн сырого угля. Уголь, находящийся в бункере, без перегрузки в железнодорожных 50-тонных узлах, по истечении времени со ссыльных путей в здании установлены в 2 ряда по 24 тоннелю, производительностью 1,820 квт. и производительностью 0,300 вольт собственного расхода. Каждый тоннель имеет производительность 10—12% в час. Сушки при сушке до 10—12% влажности, и 24 шаровых бисионных мельниц типа Гардин производительностью по 19 тонн/час. Каждая мельница составляет один жестко связанный комплект с паромином и сушкой.

Найболее целесообразным проектом постройки на складе дачи угла с паромином и выделенным углесушинской колесом и первоначальной паромином.

Подача угля в дачи угла с паромином и выделенным углесушинской колесом и первоначальной паромином. Движение — составами по 9—10 вагонов, которые подаются непосредственно на бункера углесушинской установки.

Распределительное устройство. 11,000 вольт работают непосредственно каждый на свою трансформаторную группу, состоящую из 3 однофазных трехходовых трансформаторов 100/380/110 вольт, включенных в группу по схеме звезды. На стороне 100 квт имеют общий трансформатор, соединенный жестко и имеет общий масляник. На каждой из однофазных трансформаторов имеется один общий резервный. Распределительное устройство имеет один общий калиброванный трансформатор, расположенный перед фильтром и ступенями машинного зала. Соединение трансформатора с генераторами производится голыми шинами, а трансформаторов с машинами высокочастотными 160 квт. Все соединения на открытой подстанции — голым гибким проводом.

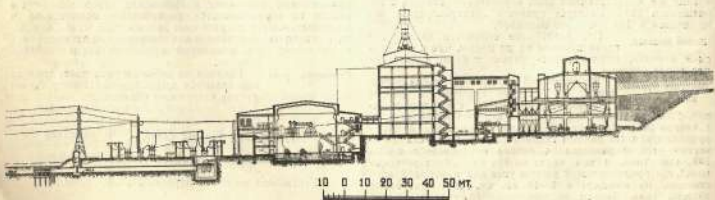
Собственный расход обслуживается 4 «домашними» генераторами, расположенным на залу главных, и 4 генераторами турбин углесушинской установки. Распределительные



Черт. 4.
Проект Бобриковской электростанции.

Генеральный план.

1. Углесушинская и выделенная установка.
2. Машинный зал пылеприготовительной установки.
3. Котельные.
4. Распределительное устройство 0,300 вольт собственного расхода.
5. Машинный зал.
6. Главный шлюз управления.
7. Бокорынки, колодцы охлаждающей воды.
8. Водоприскники.
9. Открытая подстанция 160,000 вольт 1-й очереди.
10. Тоже 2-й очереди



Черт. 5.
Проект Бобриковской электростанции.

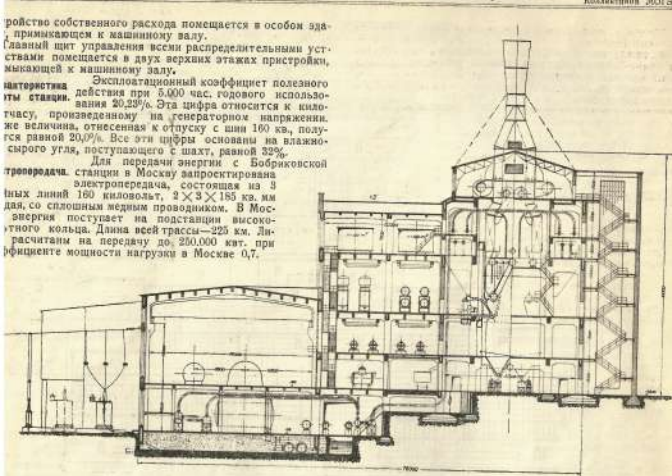
Разрез.

рство собственного расхода помещается в особом зда-
нии, примыкающем к машинному залу.

Главный щит управления всеми распределительными уст-
ройствами помещается в двух верхних этажах пристройки,
имеющей в плане форму «лопаты».

**Эксплуатационный коэффициент полезного
действия**. Эксплуатационный коэффициент полезного
действия при 5.000 час. горлового использования 20,23%. Эта цифра относится к кило-
томуку, произведенному на генераторном напряжении
же величине, что и в проекте. Установлено 160 кв., полу-
гся равной 20,0%. Все эти цифры основаны на влажно-
сарого угля, поступающего с шахт, равной 33%.

Для передачи энергии в Москву запроектирована
трансформаторная станция, состоящая из 3
ных линий 160 киловольт, 2-х линий 155 киловольт
и со сплошным медным проводником. В Мос-
ква поступает им подстанция высокого
того колца. Длина всей трассы—225 км. Ли-
расчитаны на передачу до 220,000 квт, при
фактической мощности нагрузки в Москве 0,7.



Черт. 6.

Проект Биринской электростанции.

Поперечный разрез по машинному залу, питательному отделению и котельной.

при выборе напряжения были разработаны два варианта
трансформеров в 160 и 220 кв. с металлическими опорами;
начальная стоимость обоих вариантов, примене-
ния, но эксплуатационные расходы напряжения 220 кв.
т.екторами преимущественно в виду меньших потерь в
по подобию соотношения хранится только до тех
линий 160 кв. или три одинаковых 220 кв. Если же
в возникнет необходимость резерва, то, срав-
нивши трехдвойных линий 160 кв. с вариантом 4 оди-
ных линий 220 кв., приходим к выводу, что как по перво-
важности, так и по эксплуатационным расходам
160 кв. предпочтительнее более высоким. Учитывая
же недостаточность опыт европейских заводов с на-
нием 220 кв., следует признать электропредприятию
и опасение.

При разработке стоимости жилого по-
селка принято те же нормы, что и при Твер-
ской, применительно только к этому количеству
капитала.

Биринский угленосный район распо-
ложен в Тульской губернии, в районе
ст. «Бирин» и ограничен с востока р. Дон-
запада в Лебедянском уезде, в 180 км. и д-
ля разведки достигли деревни Ильин-Озеро
и Бирин. По данным Геологического Комитета коли-
чество углей в разведданном районе определяется в 60—
100 тыс. тонн, в том числе на так наз. «Электрическом»
поле расположено добывающее устье для новой районной
лии, на площади 10—15 кв. км. Запасы углей на гигант-
ских, в то время как на выемке из земли
20 млн. тонн. Глубина угле-
слон—40—60 метров от поверхности земли.

Цифра 40.750.000 руб. получена исходя из оценки вложе-
ний на тонну годовой добычи в размере 14 р. 50 к., согласно
указанию Отдела Электрификации Главэлектро, с поми-
нимием затрат на жилищное строительство в размере около
2 руб. на тонну согласно указаний Электроплана.

Стоимость угля франко центральный бункер на конях,
по цене 160 кв. в 1925 г. за тонну (за пуд).

Общая стоимость сооружений электростанции выраженная
в сумме 214.500.000 рублей или 715 рублей на установленный киловатт главных турбогенераторов станции. Раз-
бивка полной стоимости по отдельным статьям приведена
в следующей таблице:

Наименование	Общая стоимость	Стоимость на 1 квт главных турбогенераторов	
		Руб.	Руб. Коп.
1. Районная электрическая станция	84.850.000	283	—
2. Проводные пути и водо- механические сооружения станции	4.300.000	14	50
3. Поселок при станции . . .	15.180.000	50	50
4. Электропредприятие в Москве	40.800.000	138	—
5. Добыча и транспорт угля	45.610.000	152	—
6. Временные сооружения	600.000	2	—
Всего	191.440.000	658	—
7. Проектные на машину за время постройки	19.140.000	64	—
8. Местные линии и под- станции	1.700.000	6	—
Итого по п. 1—8	212.340.000	708	—
9. Оборотный капитал	2.120.000	7	—
Всего капитал. затрат с округлением	214.500.000	715	—

Стоимость угля франко центральный бункер на конях
в 1925 г. составляет при 5.000 час. использования
237 кв. эта цифра относится к головному
отпуску с шахт станции 160.000 квт, что соот-
ветствует максимальной нагрузке на шахтах 160.000 квт
в 283.000 квт.

Распределение стоимости 1 квт, по отдельным статьям
расхода приведено в следующей таблице:

Статья расхода	Стоимость на 1 квт на квчас.
1. Уголь (по цене 5 р. 45 к. за тонну франко центральный бункер на конях)	0,860
2. Амортизация сооружений станции	0,502
3. Прочие на капитальные затраты по станции	0,510
4. Зарплаты плаата	0,144
5. Социальные расходы	0,058
6. Налоги и страховая	0,011
7. Техническое обслуживание	0,111
8. Смазочные и ремонтные материалы	0,100
9. Эксплуатация поселка при станции	0,019
10. Эксплуатация поездных путей и проч. разные расходы	0,059
Итого с округлением	2,37

1) Электропланом было установлено, что при учете про-
центов на затраченный капитал, а также упомянутого выше
увеличения стоимости индустриальства, цена тонны угля
поможет в основу всех подсчетов стоимости электриче-
ской энергии, определяется в 7 руб. 45 коп. за тонну.

Стоимость переданного в Москву киловатт-часа на ши-
нах Московского района, включая налог при 6.000 час. использо-
вания 3-03 квт.

Биринская электростанция расположена в землемеждущем районе со слабо
развитой промышленностью. Назначением
электростанции является подача электро-
энергии, главным образом, для Москвы и для промышлен-
ности, расположенной в районе Каширской ГЭС.

3-я очередь Каширской ГЭС.

При рассмотрении высших хозяйственных орга-
нов представленных летом 1925 г. разработанных
МОЭСом проектов Тверской и Биринской станций был
выбран проект о замене существующей станции
новой Каширской ГЭС, или, правильнее сказать, о постройке
новой Каширской станции, так называемой 3-й очереди КГЭС.

Топографические условия местности, осо-
бенно вопросы транспорта и хранения угля
и необходимости иметь однотипное оборудование
со 2-й очередью, обуславливают возможность
построить Каширскую ГЭС в 3-й очереди.

Машинный зал. Оборудование машинного зала
состоит из 2 турбогенераторов мощностью по 55.000 квт. (см.
черт. 7 и 8).

Котельная. Котельная оборудована 5 котельными агрегатами. Поверхность нагрева каждого из котельного агрегата составляет из котла 2.640 кв. м., пароперегревателя 1.080 кв. м., экрана 240 кв. м. и воздушноподогревателя в 6.412 кв. м. Котлы оборудованы двухсторонними экран-
ными топками для отгонения пыли. Заполнение —
гидравлическое.

Пильногенераторный завод представляет собой железобетонный корпус, в котором
расположено 8 агрегатов, состоящие каж-
дый из паровой трубчатой сушки и тихоходной паровой турбины.

Установка входит в замкнутую систему промышленной водопроводной сети. Сушки работают отработанным паром 2-х турбогенераторов
мощностью по 2.600 квт каждая.

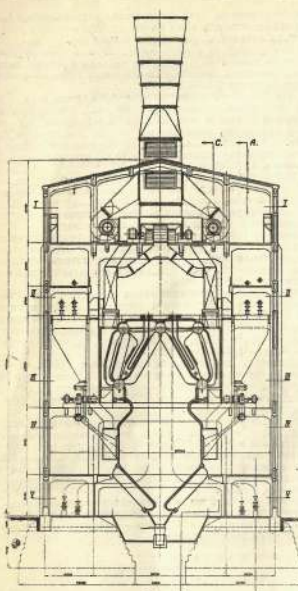
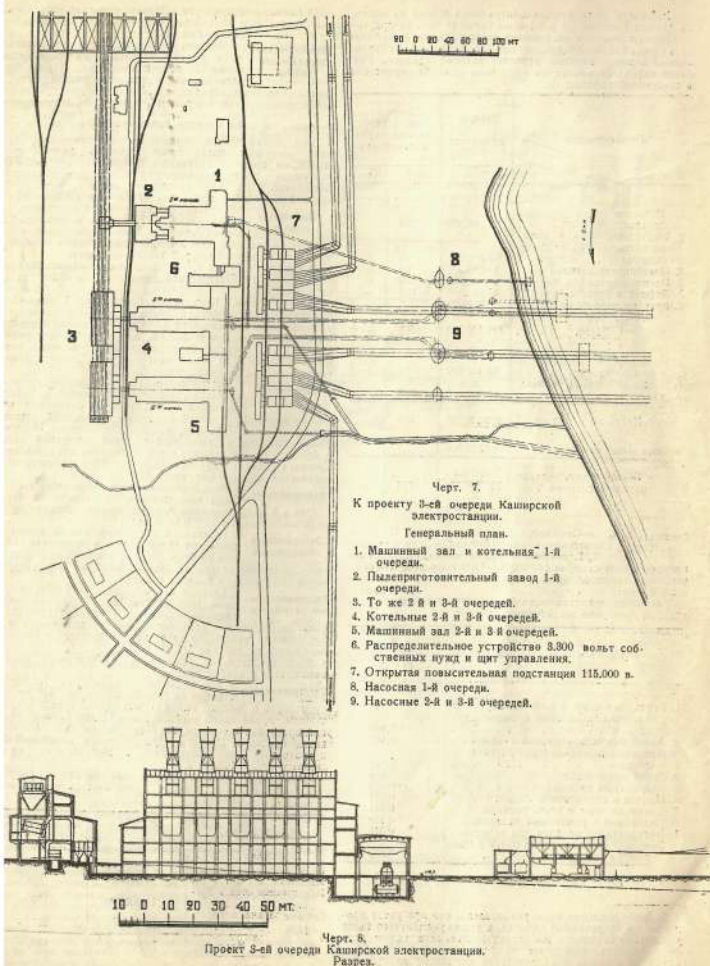
Водоснабжение запроектировано по типу
р. Оки с 3 истоками и напорной установкой на берегу
р. Оки по 15.000 квт в час.

Генераторы 2 главных машины имеют на
оборудование при 5.000 час. использования —
кв.квт. Эта цифра относится к головному
отпуску с шахт станции 160.000 квт, что соот-
ветствует максимальной нагрузке на шахтах 160.000 квт
в 283.000 квт.

Распределение стоимости 1 квт, по отдельным статьям
расхода приведено в следующей таблице:

Сооружение	Общая стоимость	Стоимость на 1 квт турбогенераторов
Электрическая станция	34.900.000	317.—
Поселок	3.800.000	83.—
Электропредприятие в Мо- ске	11.300.000	103.—
Добыча и транспорт угля	25.000.000	237.—
Итого	74.900.000	680.—

(См. продолжение).



Р а с х о д м .	При цене угля 5 р. 45 к. тонна		При цене угля 3 р. 66 к. тонна	
	Коп. квч.	% к %	Коп. квч.	% к %
Топливо	1,335	46,5	1,025	40,0
Прочее	1,235	55,5	1,525	60,0
Итого коп. квч.	2,590	100	2,550	100

Стоимость киловат-часа на шинах Московского кольца составляет при цене угля в 5 р. 45 к. 8,34 коп., при цене 3 р. 66 к.—3 коп.

Выводы.

Принимая во внимание: 1) современную стоимость топлива, при которой энергия от торфяной станции является неконкуренческой с энергией угольной станции, 2), то, что значительная часть энергии, вырабатываемая МОГЭСом, получается с торфяных станций и 3) что торфодобывача в значительной степени зависит от условий погоды горного сезона—составляет временем в стороне вспомогательной Тверской станции, и в дальнейшем будет сравнивать лишь угольные (Бобриковскую и Каширу).

Сравнение проводим для двух периодов:

А. 1933—34 год.

В эксплуатации находится только 1 очередь Бобриковской электростанции или Кашира 3.

Основные данные могут быть сведены в нижеследующую таблицу:

Сооружения.	Общая стоимость, Руб.	На 1 квт. установленной мощности, включая трубопроводы, Руб.		Данные.	Бобрик 1.	Кашира 3.
		На 1 квт. установленной мощности, включая трубопроводы, Руб.	В %			
Проценты на капитал за время постройки . . .	6,350.000	58.—				
Оборотный капитал . . .	1,850.000	17.—				
Всего капитальных затрат	83.000.000	756.—				

Стоимость 1 к. в. часа из шин высокого напряжения при 5.000 час. годового использования установленной мощности выражается в следующих цифрах:

Р а с х о д м .	Коп./квч.	% к %	
		Топливо	Зарплаты
Топливо	1,235	46,50	4,30
Зарплаты	0,132	4,80	1,60
Эксплуатационные расходы	0,094	3,25	1,10
Накладные расходы	0,284	10,25	3,70
Амортизация	0,600	17,50	6,00
Проценты на капитал	0,515	18,00	6,40
Всего	2,860	100,00	34,40

Примечание: Цифры годовой выработки и стоимость кв-часа указаны для 5.000 час. годового использования при цене угля 5 р. 45 к. за тонну франко склад-рудник.

Из рассмотрения цифр таблицы можно сделать следующие выводы:

1. Вариант Кашира 3 дает по сравнению с вариантом Бобрик 1 уменьшение суммарных капитальных затрат в размере 44.000.000 руб. (за счет уменьшения установленной мощности).

2. Стоимость установленного киловатта на Кашире 3 дешевле на 90 р. или на 10,5% против Бобрика 1.

3. Стоимость энергии на Московском кольце практически одинакова для обоих вариантов. Исчисленная на основании сметных цифр годовая экономия от Каширской энергии

Лопин: К вопросу о новой электростанции в Московском районе.

Бюллетень Инж.-Консультантов МОСГЭС

с максимумом годового отпуска в 485,000,000 квт. часов
91,000 руб.

4. Мощность, которая может быть получена на Московском кольце с Каширой 3, на 22,0% меньше той мощности, которая может быть получена от Бобриков 1.

Б. 1936-37 год.

В эксплуатации должны быть уже обе очереди Бобриковской электростанции или же Кашира 3 и первая очередь Бобриков 1.

Основные данные могут быть следующими в таблицу:

Данные	Бобрики 1-я и 2-я очередь	Кашира 3-я и Бобрики 1-я очередь
становления главных машин квт.	300,000	260,000
мощность, получаемая на Московском кольце 105 квт. квт.	250,000	222,000
одной выработки на станциях		
квт.		
1,410,000,000	1,280,000,000	
0,95 квт. квт. в среднем на 1 установленный киловатт главных машин	1,250,000,000	1,110,000,000
214,500,000	210,000,000	
стоимость / на станции	2,37 к.	2,37 к.
1 в час. в Москве	3,03 к.	3,38 к.

Причина: Годовая выработка и стоимость квт. часов указаны для 5,000 час. годового использования и при цене топлива на 40 квт. квт. — в дальнейшем склад-рудник.

На основании цифр вышеизложенной таблицы, можно констатировать следующие положения:

1. В отношении суммарных величин капитальных затрат

Бобриковской электростанции дает наилучший результат в сравнении с Каширой 3, а варианты Кашира 3+Бобрики 1.

2. Мощность, получаемая на Московском кольце при одинаковых суммарных затратах полное развитие Бобриковской электростанции дает наилучший результат в сравнении с Каширой 3+Бобрики 1.

3. Стоимость Бобриковской энергии на Московском кольце меньше против варианта Кашира 3+Бобрики 1 в 0,95 квт. в час.

При годовом поступлении на Московском кольце 2,000,000 квт. часов эта разница дает годовую экономию в размере 4,875,000 рублей.

Резюмируя все сказанное выше, констатируем еще раз новые положения:

1) Для покрытия роста нагрузки в ближайшие 6—8 лет должна быть построена новая электростанция, мощностью 250,000 квт. квт. на основе постройки Каширой 3.

2) Таким образом, развитие Каширской ГЭС до 260,000 квт. путем постройки Кашира 3 с установленной мощностью главных генераторов в 110,000 квт. не исчерпывает потребности в новой мощности и может быть рассмотрено, как вариант первой очереди.

3) Для получения новой мощности необходимых расходов потребуется, помимо расширения Каширской ГЭС, стройки новой новой электростанции. Темп роста погоды, с одной стороны, и с другой, значительные труды в более дальнейшее время для выполнения работы, связанные сстройкой новой электростанции, и, как результат, длительный срок постройки вынуждают приступить к работам по строительству Кашира 3.

4) Строительство новой мощности путем расширения Каширской ГЭС по сравнению с вариантом немедленного начала

капитальных затрат для 1-й очереди (1936—37 г.) на

44,000,000 рублей за счет уменьшения установленной мощности. Стоимость и в часах не никак Московского кольца для обоих вариантов практически одинакова.

5) Необходимость вложения средств в постройку новой станции до окончания сооружения Кашира 3 может значительно уменьшить указанную выше цифру разницы в капитальных затратах (см. таблицу № 1).

6) Для 1936-37 г., когда должна быть полностью в эксплуатации новая мощность (300,000 квт.), оба варианта две очереди Бобриков или Кашира 3+Бобрики 1-я очередь в отношении капитальных затрат практически одинаковы и отличаются лишь кв. часа на Московском кольце по первому варианту на 0,95 к., что дает годовую экономию в 4,375,000 руб.

7) Постройка Кашира 3 даст новую мощность на полгода раньше, чем постройка Бобриковской электростанции. Таким образом, в пользу развития Каширской ГЭС говорят для каждого из предлагаемых вариантов капитальныхложений и сокращение срока строительства.

Первое обстоятельство — экономия в капиталных вложениях в современных финансовых условиях должно играть первенствующую роль однако, в действительности, как мы указали выше, роль этого может оказаться весьма неизначительной.

Второе доказывает — сокращение срока строительства — имеет глубокий смысл, финансовое значение, в смысле уменьшении суммы процентов за время постройки, так как сокращение срока строительства даст новую мощность вместо отсутствующей за этот же период времени, когда в ней не будет способа выдачи ее.

Расчитывать же на такое сокращение срока, которое даст новую мощность к максимуму 1932-33 годы, конечно, невозможно, особенно если учесть что обстоятельство, чтопуск 2-й очереди Кашира может быть осуществлен только в мае 1937 года.

Все остальное говорит в пользу Бобриков и здесь на первом месте нужно поставить экономию на стоимость киловатт-часа в Москве. Сумма этой экономии (4,375,000 р.) на первый же год работы двух очередей Бобриковской электростанции с избыточным покрытием пересходами по смете в размере за все время работы одной очереди ее (291,000 р./год X 3 года).

Поэтому при наличии возможности достаточного и своевременного финансирования строительства следует из двух вариантов — Кашира или Бобрики — предпочтеть постройку Бобриковской электростанции.

В один из последних заседаний Президиума ВСНХ ССР рассматривался вопрос о постройке новой электростанции, при чем окончательно был предложен вопрос о том, что станция должна строиться на подмосковном угле, причем к работе должна быть приступлено в 1939/40 операционном году. Таким образом, открытым остался нерешенным вопрос о месте постройки станции, т. е. в Бобриках или в Кашире. Вопрос этот будет Правительством решен окончательно в ближайшее время.

Немедленно является вопрос о сроке, в который должна быть введена новая электростанция. Как наименее возможное, имеется ввиду первая очередь, первая очередь должна быть пущена в работу не позднее 1933 года. Таким образом, для постройки станции и пуска ее в работу остается срок около 4 лет, и перед работниками МОГЭСС эта задача будет стоять впереди. Стартом в строительстве, вероятно, может стать застройка постройки наиболее технически и экономически совершенной электростанции, притом в минимальном оставшемся сроке.

Мы осветили основные элементы каждого из вариантов постройки станции.

В виду того, что вопрос, который представляется разработчиком МОГЭСС, варианты постройки новой станции, Гидроэлектро поставило проекты эти вместе с проектом Энергостроя (которым самостоятельно разработан второй проект постройки станции в Бобриках) и относившимися к подмосковному угольному району очеркам Москвы-Угольника — также включившим в них и труды, после чего можно было бы на строительство Бобриковской станции было положено на отдельных проблемах постройки станции.

Приданные таблицы № 1 и № 2 дают возможность сопоставить основные проектные характеристики электростанций: Тверской, Бобриковской и Кашира 3.

Лопин: К вопросу о новой электростанции в Московском районе.

Сравнительная таблица № 1.

Ведомость капитальных затрат на сооружение:

1. Две очереди Бобриковской ГЭС с установленной мощностью главных турбогенераторов 300,000 квт.
2. Первая очередь Бобриковской ГЭС 160,000
3. Третья очередь Каширской ГЭС 110,000 .

№ по пор.	Наименование станций	Стоймость сооружения	Две очереди Бобриковской ГЭС (1)		1-я очередь Бобриковской ГЭС (2)		2-я очередь Каширской ГЭС (3)	
			Общая стоимость	На 1 квт. главных турбоген.	Общая стоимость	На 1 квт. главных турбоген.	Общая стоимость	На 1 квт. главных турбоген.
			руб.	руб.	руб.	руб.	руб.	руб.
1	Рабочая Электрическая Станция	84,850,000	283	48,500,000	324	34,900,000	317	
2	Подземные пути и вспомогательные сооружения	4,360,000	14,5	4,300,000	38	— *)	—	
3	Последователная электрическая станция	15,180,000	50,0	11,000,000	73	3,600,000	33	
4	Электропередача в Москву	40,800,000	136	23,400,000	156	11,300,000	103	
5	Добыча и транспорт топлива *) и *)	45,810,000	152	24,900,000	166	25,000,000	227	
6	Временные сооружения	600,000	2	600,000	4	— *)	—	
			Всего	191,400,000	638	112,700,000	751	74,800,000
7	Проценты на капитал за время постройки	19,140,000	64	11,300,000	75	6,350,000	58	
8	Местные линии и подстанции	1,700,000	6	1,700,000	12	—	—	
			Итого по п. 1-8	212,240,000	708	125,700,000	887	81,150,000
9	Оборотный капитал	2,120,000	7	1,270,000	8	1,850,000	17	
			Всего капитальных затрат	214,360,000	—	126,970,000	—	\$3,000,000
			С округлением	214,500,000	715	127,000,000	845	\$3,000,000

1) Смета Бобриковской ГЭС с изменениями Энергостроя.

2) Капитальные затраты на угольный приток в размере 16 р. 50 к. на тонну годовой добычи; подробно см. стр. 46.

3) Цена топлива на местные угольные склады, для строительства и для обслуживания 5-й очереди.

4) При производстве работ по 3-й очереди Каширской ГЭС будет использован временный поселок, обслуживающий постройку 2-й очереди. Временное здание строительства будет производиться от 1-й и 2-й очередей.

Сравнительная таблица № 2.

Основные проектные характеристики электростанций:

Тверской, Бобриковской и Кашира 3.

№ по пор.	Станции	Тверь Бобрики Кашира 3 + Бобрики 1	1-я очередь		2-я очередь		3-я очередь	
			Стаци.	Характеристики	Стаци.	Характеристики	Стаци.	Характеристики
			1-я очередь	2-я очередь	1-я очередь	2-я очередь	1-я очередь	2-я очередь
1	Год вступления в работу	1933/34	1933/37	1933/34	1936/37	1933/34	1936/37	
2	Капитальные затраты (суммарные) в млн. руб.	124,0	210,0	127,0	214,5	80,0	210,0	
3	Мощность, передаваемая в Москву тыс. квт.	125	250	125	250	87	222	
4	Капитальные затраты на 1 киловатт, передаваемый в Москву руб.	990	840	1,015	860	890	960	
5	Стоимость на шинах станции	3,28	2,89	2,70	2,57	2,86	—	
	при n = 5000 квт./квт.	На Московском кольце	3,82	3,40	3,40	3,03	3,34	3,38 (среднеизвещенная)
6	Стоимость на шинах станции	3,08	2,66	2,41	2,08	2,55		
	при n = 5000 квт./квт.	На Московском кольце	3,82	3,20	3,12	2,72	3,00	3,07 (среднеизвещенная)

При цене топлива по данным Энергоплана:
топф—13,25 р./т. ф-ко бункер,
уголь—5,45 р./т. ф-ко склад—
рутин.При цене топлива по первоначальной смете МОГЭС:
топф—11,7 р./т. ф-ко бункер,
уголь—3,88 р./т. ф-ко склад—
рутин.Все цены на уголь отн. к углю
тепловозовод. 2,500 квт/кг.

Опыты по сжиганию подмосковного угля в пылевидном состоянии на Каширской ГЭС.

И. Г. Тихомиров.

Опыты по сжиганию подмосковного угля в пыли велись им Каширской ГЭС с конца 1929 г. на специально оборудованной для пылевидного топлива установке Стерлинга емкостью нагрева 444 кв. метра, с пароперегревателем 40 кв. метров, поданым экономайзером Грин—220 кв. метров, который впоследствии был заменен воздушным экономайзером Ротатор—1080 кв. мт. поверхности нагрева. Топка эта была выполнена из чугунных стеков и того, чтобы можно было перекрыть спою.

Опыты производились на сущеных Победенских конопах, средней обжиговой способностью 3700 калорий/кг, английской мельнице «Атритер». Питанием топки было сухое топливо, которое было дано Я. П. Вечинниковым в журнале «Техника и изобретение», №№ 8—9, 1927 г., поэтому останавливаться на предварительных результатах опытов мы не будем. Результаты эксплуатационной работы котла с 1926 года показали, что питание пылью из подмосковного угля, когда горит в пылевидном состоянии, котлы даже поддаются регулировке, быстро может быть введен в рабочую, и то есть обладает всеми преимуществами, необходимыми для котельной районной электрической станции.

Топочная камера вследствие малого объема ее, давала возможность нормально при напряжении около 100.000 л. на квадратный метр получать съем пара не выше 16 кг/с. кв. и дальнейшее же повышение температуры топочных пространства вызывало склонность вырывания стеков и совершенно запаздывало топку, выводя из строя.

Причины получавшегося настолько твердым, что для очистки требовалось висколько дней, при чем, в виду его накипания и обсыпки, при отставании он разрушал рифы, что в свою очередь значительно сокращал срок службы фурнитуки.

Мельница «Атритер» обнаружила целый ряд дефектов, бочкообразные винты мельницы изнашивались и требовали для меня ликвидации мельницы (один из них), после чего потеря мельницы сильно увеличивалась и работа становилась невозможной. С износом рабочих элементов (пальцы и предохранительной рубашки) резко ухудшился и размол угля.

Расход на ремонт выражался в сумме около 3 рублей на тонну пыли.

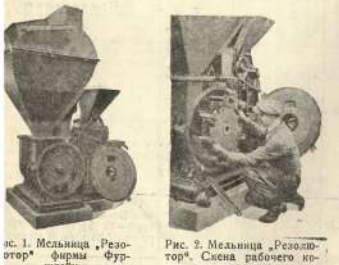


Рис. 1. Мельница «Резолотор» фирмы Фуррер.
Рис. 2. Мельница «Резолотор», Схема рабочего колеса.

При указанных условиях наложенной эксплуатационной системы котла достичь не удалось, поэтому с февраля 1928 г. было решено переоборудовать котел, с работой новой топки применительно к французским у «Фурните», с установкой двух мельниц типа «Резолотор», той же фирмы (см. рис. 1).

Топочная камера выполнена (см. рис. 4, 5 и 6) из огнеупорного кирпича русских заводов: Боровского Коз-

бина и Можайского, с подвесными сидами, изготовленными фирмой Бабконовская заводом. Железная конструкция для подвесных сидов сделана из уголка, а сама камера выполнена сварными мастерскими. Стены топочной камеры выполнены в виде обратных спиралей для обеспечения свободного движения воздуха в них (см. рис. 5). Внизу топки установлен водяной экран из старых Бабконовских багетов, соединенных с водогрейной сетью; таким образом, часть тепла от лучеписания (см. рис. 6) передается испарителю. В будущем подводный экран заменится новым и будет включен в циркуляцию котла.

На фронтовой стенке топки по указанию инженера Б. В. Бабконова установлены 4 турбулентных форсунки типа «Лебидор», установленные в своих мастерских. Нижние пылевые форсунки расположены на фланцевые форсунки для зажигания пыли.

Перед фронтом топки установлены две мельницы «Резолотор», производительностью по 2,5 тонны камдии, которые горят в пылевидном состоянии, котлы даже поддаются регулировке, быстро может быть введен в рабочую, и то есть обладает всеми преимуществами, необходимыми для котельной районной электрической станции.

На же мельницах мы убедились, что как топочное пространство, так и сама мельница «Атритер» в эксплуатации оказались недостаточными.

Топочная камера вследствие малого объема ее, давала возможность нормально при напряжении около 100.000 л. на квадратный метр получать съем пара не выше 16 кг/с. кв. и дальнейшее же повышение температуры топочных пространства вызывало склонность вырывания стеков и совершенно запаздывало топку, выводя из строя.

Причины получавшегося настолько твердым, что для очистки требовалось висколько дней, при чем, в виду его накипания и обсыпки, при отставании он разрушал рифы, что в свою очередь значительно сокращал срок службы фурнитуки.

Мельница «Атритер» обнаружила целый ряд дефектов, бочкообразные винты мельницы изнашивались и требовали для меня ликвидации мельницы (один из них), после чего потеря мельницы сильно увеличивалась и работа становилась невозможной. С износом рабочих элементов (пальцы и предохранительной рубашки) резко ухудшился и размол угля.

Расход на ремонт выражался в сумме около 3 рублей на тонну пыли.

На фронтовой стенке топки по указанию инженера Б. В. Бабконова установлены 4 турбулентных форсунки типа «Лебидор», установленные в своих мастерских. Нижние пылевые форсунки расположены на фланцевые форсунки для зажигания пыли.

Перед фронтом топки установлены две мельницы «Резолотор», производительностью по 2,5 тонны камдии, которые горят в пылевидном состоянии, котлы даже поддаются регулировке, быстро может быть введен в рабочую, и то есть обладает всеми преимуществами, необходимыми для котельной районной электрической станции.

На же мельницах мы убедились, что как топочное пространство, так и сама мельница «Атритер» в эксплуатации оказались недостаточными.

Топочная камера вследствие малого объема ее, давала возможность нормально при напряжении около 100.000 л. на квадратный метр получать съем пара не выше 16 кг/с. кв. и дальнейшее же повышение температуры топочных пространства вызывало склонность вырывания стеков и совершенно запаздывало топку, выводя из строя.

Причины получавшегося настолько твердым, что для очистки требовалось висколько дней, при чем, в виду его накипания и обсыпки, при отставании он разрушал рифы, что в свою очередь значительно сокращал срок службы фурнитуки.

Мельница «Атритер» обнаружила целый ряд дефектов, бочкообразные винты мельницы изнашивались и требовали для меня ликвидации мельницы (один из них), после чего потеря мельницы сильно увеличивалась и работа становилась невозможной. С износом рабочих элементов (пальцы и предохранительной рубашки) резко ухудшился и размол угля.

Расход на ремонт выражался в сумме около 3 рублей на тонну пыли.

На фронтовой стенке топки по указанию инженера Б. В. Бабконова установлены 4 турбулентных форсунки типа «Лебидор», установленные в своих мастерских. Нижние пылевые форсунки расположены на фланцевые форсунки для зажигания пыли.

Перед фронтом топки установлены две мельницы «Резолотор», производительностью по 2,5 тонны камдии, которые горят в пылевидном состоянии, котлы даже поддаются регулировке, быстро может быть введен в рабочую, и то есть обладает всеми преимуществами, необходимыми для котельной районной электрической станции.

На же мельницах мы убедились, что как топочное пространство, так и сама мельница «Атритер» в эксплуатации оказались недостаточными.

Топочная камера вследствие малого объема ее, давала возможность нормально при напряжении около 100.000 л. на квадратный метр получать съем пара не выше 16 кг/с. кв. и дальнейшее же повышение температуры топочных пространства вызывало склонность вырывания стеков и совершенно запаздывало топку, выводя из строя.

Причины получавшегося настолько твердым, что для очистки требовалось висколько дней, при чем, в виду его накипания и обсыпки, при отставании он разрушал рифы, что в свою очередь значительно сокращал срок службы фурнитуки.

Мельница «Атритер» обнаружила целый ряд дефектов, бочкообразные винты мельницы изнашивались и требовали для меня ликвидации мельницы (один из них), после чего потеря мельницы сильно увеличивалась и работа становилась невозможной. С износом рабочих элементов (пальцы и предохранительной рубашки) резко ухудшился и размол угля.

Расход на ремонт выражался в сумме около 3 рублей на тонну пыли.

На фронтовой стенке топки по указанию инженера Б. В. Бабконова установлены 4 турбулентных форсунки типа «Лебидор», установленные в своих мастерских. Нижние пылевые форсунки расположены на фланцевые форсунки для зажигания пыли.

Перед фронтом топки установлены две мельницы «Резолотор», производительностью по 2,5 тонны камдии, которые горят в пылевидном состоянии, котлы даже поддаются регулировке, быстро может быть введен в рабочую, и то есть обладает всеми преимуществами, необходимыми для котельной районной электрической станции.

На же мельницах мы убедились, что как топочное пространство, так и сама мельница «Атритер» в эксплуатации оказались недостаточными.

Топочная камера вследствие малого объема ее, давала возможность нормально при напряжении около 100.000 л. на квадратный метр получать съем пара не выше 16 кг/с. кв. и дальнейшее же повышение температуры топочных пространства вызывало склонность вырывания стеков и совершенно запаздывало топку, выводя из строя.

Причины получавшегося настолько твердым, что для очистки требовалось висколько дней, при чем, в виду его накипания и обсыпки, при отставании он разрушал рифы, что в свою очередь значительно сокращал срок службы фурнитуки.

Мельница «Атритер» обнаружила целый ряд дефектов, бочкообразные винты мельницы изнашивались и требовали для меня ликвидации мельницы (один из них), после чего потеря мельницы сильно увеличивалась и работа становилась невозможной. С износом рабочих элементов (пальцы и предохранительной рубашки) резко ухудшился и размол угля.

Расход на ремонт выражался в сумме около 3 рублей на тонну пыли.

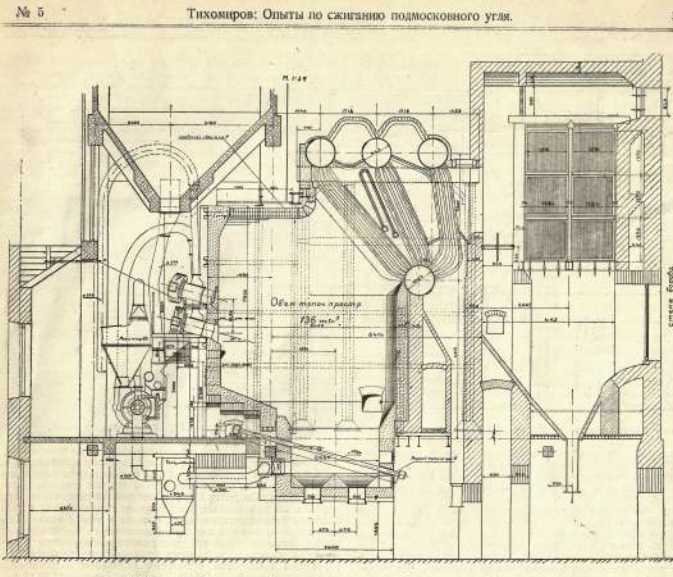


Рис. 4. Котел № 12 системы «Стерлинг», пов. нагр. 444 кв. метра. Продольный разрез.

водяную в движение от вала мельницы. Для регулирования подачи топлива в топку введен винт, который, изменяя скорость транспортной ленты и толщину слоя уголья особым шнеком. Из питателя сушеника поступает (засыпается) в камеру Резолотора, где она, подвергаясь действию вра-

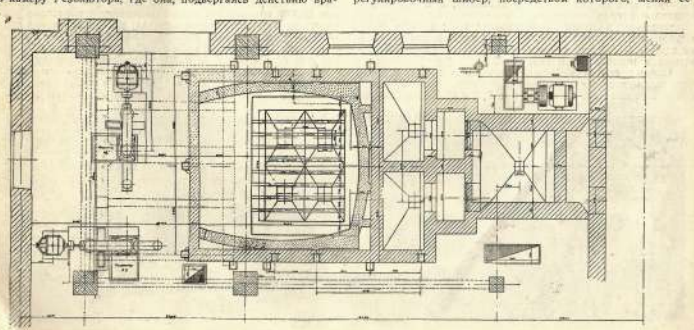


Рис. 5. Котел № 12 системы «Стерлинг» пов. нагр. 444 кв. метра. Горизонтальный разрез через топку.

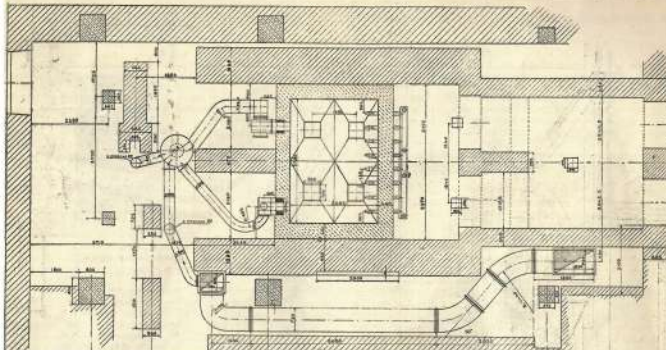


Рис. 6. Котел № 12 системы „Стерлинг“ при нагр. 444 кв. метра. Горизонтальный разрез через зольник.

песк извергается для пыли, в следствии и меняется способ дыхания вентилятора, предстаёт возможность удирать винику помола, при чём грубая пыль возвращается обратно в мельницу и подвергается дальнейшему измому.

На общем же пути между мельницей и мотором вентилятора, винику измому, ссыпанную винику, проходит из котельного желоба 6 м., толщиной. Засыпавшим винику вентилятором из сепаратора аэроцикла поступает по трубам в форсунки. На верху тонких труб эти разветвляются сединяются в форсунках, таким образом, что мельница получает для вентилятора, и мельница № 2— для мельницы № 1.

На общем же пути между мельницами, винику, проходит по питательной линии, в середину же вводится винику, подогретый до 220° С., при чём винику может направляться особыми засыпками в ту или иную сторону, то есть как винику измому, так и в сторни вращения винику, так и в противоположную.

Переоборудование таким образом, тонка вступила в работу с машина винику измому, а с ним была

форсунки. Форсунки гарантировала срок службы измому, измому, был — 800 часов, и для обладающих

первой винику в подмосковном угле до 2%.

Первые опыты работы Резолитора показали, что на измому винику в течение 100 часов, а облицовка и винику в течение 200 часов (см. рис. 7, 8 и 9). Такой быстрый

износ металла обясняется вследствием, на котором серного колеса, доходящего, по нашему сопротивлению, до 4 с лишним процентов. Размер кусков колеса, колеблется от 0 до 25 мм., то есть в теч же предзах, как и сам уголь. Сопротивление колесам размельчения при мерно в 35 раз больше угла, отсюда становится ясны некоторые особенности винику измому.

Винику измому форсунки, предложенные винику измому коммандированной фирмой для наладки работы Резолитора инженер, по нашему предложению, занялся конструющей воздушной сепарации колеса, основанной на работе с воздушными винику измому и колесами: 0,79:1,6.

Уголь, подогретый до 220° С., проходит винику измому, сепаратор засыпается в мельничный колесо, винику, как более тяжелым, выпадает наружу. Опыты показали, что сепаратор наделяет чистого колеса до 2,07% — на

вина измому № 1, сконструированному инженером фирмы 220%, при 1,84% на мельчине № 2. Общий выход измому из сепаратора № 1, сконструированному инженером фирмы 24,9%, с содержанием винику измому 17,5%; тоже сконструированному инженером № 2, сконструированному инженером фирмы 220%; при 20,8% содержании углек. Применение сепараторов значительно уменьшило износ металла; так до отделения колеса — износ на тонких пыль выражался 220 грамм, а после отделения (все износ измому) износ уменьшился до 207 грамм для бил (см. рис. 7) и 300 часов для облицовки.

Достигнутые результаты все же еще слишком далеки от гарантированных фирмой сроков службы трущихся элементов и поэтому ведутся дальнейшие работы по уве-



Рис. 7. Износ бил мельницы „Резолитор“.

личению сепарации колесами и по изменению конструкции изменившихся частей, так как в настоящие времена до 50% металла приходится выбрасывать не использованным. Нужна такая конструкция бил, при которой износ металла был бы минимальным.

При влажности сущин до 15% мельница даёт нормальную производительность до 2,2 тонн в час, при расходе энергии 15 квт на тонну пыли (гарантируется 13 квт), без изменения же количества расхода энергии повышается до 17 квт на тонну.

Разрежение в топочном пространстве поддерживалось все время минимальное около 1 мм. в. с.

Последнее испытание котла с воздухонагревателем дает эффективное полезного действия 80%, учтывая и тепло, подводимое эквивалентом, потеря от химической неподрывности горения 2,31% и с уходящими газами в среднем 7,8%.

Присутствие искророждений частичек углек в золе искажает колеблется в среднем от 0,6% до 2%.

Из общего содержания золы в угле равного 25%, оставляется в зольнике 4,2%, в дымоходах — 1,70%, оставляемые 19% уносятся в трубу.

Приложенная ниже таблица дает характеристику работы котла в эксплуатационных условиях.

После переоборудования котла работает около 1.200 часов бесперебойно. Это даёт основание полагать, что и в дальнейшем надежность эксплуатации котла на пылевидном топливе обеспечена; тем не менее над вопросом увеличения эксплуатации сжигания пыли нужно работать еще много. Хотя с расходом, ранее выражавшимся в сумме 15 квт на тонну пыли, мы ссыпались уже до 1 рубля, но и эта цифра слишком высока и в этой области технического персонала предстоит упорная, систематическая работа.

Все переустройство и налаживание эксплуатационной части происходило под общим руководством заведующего станции А. С. Годунова и его заместителя Г. А. Вайнштейна. Разработкой проекта переустройства сделана энергетиками станции инженером Д. И. Нейманом. Им же произведены расчеты и определены условия для установления нового режима работы тонких мельниц сепараторов колесами и обработки данных испытаний, послуживших материалом для данной статьи. Нельзя не отметить большой активности младших инженеров и стажеров, усердно помогавших

Рис. 8. Износ облицовки кожуха мельницы „Резолитор“.

Работа тонких производит весьма хорошее впечатление: вся топочная камера заполнена равнинным пламенем, без искр, искр и искр, и пульсаций, и легко поддается регулированию. Установлено, что тонка может работать и под давлением и тяжёлой, во время остановки требуется очистка от золы.

При сжигании тонких после первых опытов обнаружено защелкивание стеков футеровки на головину до 50 мм. При попытке открыть шланги оказалось, что последний настолько прилип к футеровке, что может отдеяться только с корицей потому слой шланга был оставлен как изоляцию для предохранения изоляции от разрушения.

Тонка сгорает на воздухе — начиная с температурой 1.400° Ц.—когда наше температура налипания золы побеленного угля, определенная Технологическим Институтом от 1.100 до 1.300° Ц.

При начальной температуре топочного пространства до 1.250° Ц. шланкование преодолевается и зола выделяется в виде чистых, мелких крупинок. Таким образом, для данной установки температура плавления шланга определяют винику измому, и зола, выделяющаяся в виде чистых, мелких крупинок, отражается несколько винику измому работы котла, понижая его коэффициент полезного действия, но зато дает вполне устойчивый режим пылевидной установки. Содержание CO₂, при этом не должен превышать 13%.

Шланкование трубок когда не наблюдается, заметят небольшой залог, залог, легко удалаемый продувкой.

Поврежденный в стеках зонично камере также не наблюдалось. Большинство опасения у нас вызывали подвесные сиды, но, как оказалось, они стоят вполне устойчиво.

При работе двух мельниц сечи пары достигают до 35 кг. с кв. метра поверхности нагрева котла, при одной же — до 20 кг. Дальнейшее повышение сечи, исходя из производительности мельниц, вполне возможно, но пока ограничено возможностью воздушного вентилятора, не дающего достаточного количества воздуха для сжигания большего количества пыли.

В этих направлениях, конечно, надо для измощения воздуха, охлаждавшего тонку и подачи его в топочную камеру, что даст возможность довести сечи пары до 40—45 кг. кв. мт. поверхности нагрева котла.

Рис. 9. Износ болтов, укрепляющих бил на рабочем колесе мельницы „Резолитор“.

руководители в разрешении столы важной проблемы сжигания подмосковного угля в виде пыли.



Результаты испытания котла № 12 на Каширской ГЭС на пыли.

(Работает мельница № 2).

Согласовано с турбогенераторами форсунками.
Поверхность нагрева котла № = 444 кв. м.
Человка работ. с сепаратором колчеданной констр. ник. Пакз.
перегревателя Н = 140 кв. м.
Воздух подогревателя = 1.080 кв. м.
Объем топочной камеры 138 м³.

№	Наименование	Размерность	I.	II.
1	№№ опытов		—	—
2	Дата опыта		13—14/VII	14—15/VII
3	Начало опыта		10 ч. 28 м.	10 ч. 20 м.
4	Конец опыта		10 ч. 20 м.	19 ч. 04 м.
5	Продолжительность опыта		23 ч. 54 м.	32 ч. 44 м.
Т е п л и в о.				
6	Район угля		Победенский — сущенка.	
7	Сорт угля			
Элементарный состав.				
8	Влага	%	14,31 ^a	12,67 ^b
9	Зола	%	24,09 ^a	28,25 ^b
10	Сера органическая	%	1,78 ^a	1,78 ^b
11	Сера колчеданная	%	5,27 ^a	4,95 ^b
12	— горючая	%	57,13 ^a	65,92 ^b
13	— сульфатная	%	0,511 ^a	0,621 ^b
14	— общая ^c	%	5,83 ^a	6,44 ^b
15	Углерод	%	42,09 ^a	40,92 ^b
16	Водород	%	3,08 ^a	3,02 ^b
17	Кислород + азот	%	10,89 ^a	10,71 ^b
18	Азот (подсчетом)	%	0,55 ^a	0,58 ^b
19	Низшая теплотворная способность по данным Хим. Лаборатории Каширской ГЭС	Kcal/Kg.	3,855	3,832
20	Поступило в резистор уголь из букира	Kg.	49,170	65,150
21	Отбросы из мельницы (шлак + уголь)	%	9,71	1,96
22	Сожжено за опыт сущенки ^d	%	1,27	2,9
23	Сожжено за опыт сущенки ^e	Kg.	48,199 ^a	63,253 ^b
24	Средний часовой расход сущенки	Kg.	2,016	1,935
25	Видимое тепловое напряжение точной камеры	Kal./ч ² . час.	57,000	54,500
В о д а и п а р.				
26	Испарение воды за опыт	Kg.	181,800	343,000
27	Средний часовой расход пара	Kg./час.	7,610	7,425
28	Испарительность топлива	Kg./кг.	3,78	3,84
29	Среднее напряжение поверхности нагрева	Kг./кв. м. ч.	17,18	16,71
30	Темп. приведенное к нормальному пару	%	20,50	20,15
31	Средняя температура питательной воды	°C	29,5	29,7
32	Приход теплоносителя через 1-й скрин	Kг./час.	7,600	12,920
33	Темп. 2-й скрин	%	9,060	8,300
34	Средняя температура воды до скрина	°C	23,6	25,3
35	Темп. после 1-го скрина	%	43,3	44,6
36	Средний 2-го скрин	%	44,6	45,3
37	Средний 3-го скрина	Avg.	16,7	16,6
38	Средняя температура перегретого пара	%	384	392,5
39	Теплоудержание перегретого пара	Kal./kg.	767	772
40	Затраты тепла на 1 ктр.	%	727,6	742,8
В о з д у х.				
41	Средняя температура воздуха перед вентилятором воздушного экономайзера	% ^f	21,5	23,9
42	Средняя температура смеси газов перед резистором воздуха после воздушного эко-	%	850	856
43	номайзера (перед форсунками)	%	204,5	205
44	Средний состав газов за котлом:			
	CO ₂	%	14,0	13,55
	CO ₂ + O ₂	%	19,2	19,23

^a По данным Хим. Лаборатории Каширской ГЭС.^b Получилось пересчетом данных анализов сущенки Технотек. И-та от 8/III—28 г.^c В том числе и некоторое количество угля, утерянное при выгрузке.^d Общая сера (14) составляет из органической (10), колчеданной (11) и сульфатной (13).

№	Наименование	Размерность	I.	II.
45	Характеристика топлива β	—	0,1	0,1
46	CO ^x	%	0,585	0,55
47	Коэффициент избытка воздуха за котлом	—	1,35	1,39
48	Замеренная температура газов в топке:			
	а) с фронта внизу	%	—	1,200
	б) с правой боковой стороны внизу	%	—	1,200
	в) с задней стороны	%	—	1,310
49	Замеренная температура газов за котлом	—	320	329
50	Тоже за экономайзером	%	158	168
Разрежение и сопротивление.				
51	Разрежение в топке	NM B. ST.	0,7	0,6
52	за экономайзером	%	3,95	4,25
53	Сопротивление котла	%	2,95	3,35
54	экономайзера	%	—	—
Ш л а к.				
55	Влага общая	%	0,12	0,05
56	Общая потеря при прокаливании	%	0,06	0,08
57	Зола	%	98,92	99,87
58	Теплотворная способность	Kal./kg.	калориметрическая бомба не дает показаний.	
Л а т у ч а я з о л а.				
59	Влага общая	%	0,10	0,13
60	Общая потеря при прокаливании	%	2,88	0,82
61	Зола	%	97,0	99,8
62	Теплотворная способность	Kal./kg.	калориметрическая бомба не дает показаний.	
Р е з и с т о р.				
63	Израсходовано квч. за опыт	Kвч.	725	1,080
64	Расход на одну тонну помола	Kвч./т.	15	17,1
Т е п л о в о й б а л а н с.				
65	1 кг. топлива внесено в топку тепла	Kал.	3,855	3,832
66	Из 1 кг. топлива утилизируется котлом и экономайзером	Kал.	100	100
67	Из тепла 1 кг. топлива отнимается водой скрина	Kал.	2,782	2,850
68	Итого из тепла 1 кг. топлива могло быть утилизировано	%	73,4	74,6
	(66 + 67)	%	162,5	212,0
69	Из тепла 1 кг. топлива теряется с отходящими газами	Kал.	4,22	5,54
70	" " " от химически не-	%	78,62	78,94
71	Из тепла 1 кг. топлива теряется от механизмов, неполногорения, уноса, и в окружающую среду (остаточный член)	Kал.	282	302
	" " " от химически не-	%	91,6	86
	" " " от механизмов, неполногорения, уноса, и в окружающую среду (остаточный член)	%	2,38	2,24
	" " " от химически не-	%	13,7	9,02

^f Сопротивление котла вследствие малых скоростей было крайне незначительно и не улавливалось приборами.

Н А И М Е Н О В А Н И Е	Размерность,	I.	II.
иенторные данные для оценки работы воздушного экономайзера:			
1) Теорет. количество воздуха для сжигания 1 кг. топлива при 0° и 760 мм. рт. ст.	Кг./кг. Мт./кг.	5,66 4,38	5,56 4,05
2) Количество воздуха для сжигания 1 кг. топлива при избытках, имеющих место в соответствующих опытах	Кг./кг. Мт./кг.	7,69 5,9	7,7 5,9
3) Количество газов, образованных от сжигания 1 кг. топлива при 0° и 760 мм. рт. ст.	Мт./кг.	0,711	0,687
4) Водяных паров	—	3,8	5,9
5) Сухих газов	—	—	—
Всего		6,511	6,587
6) Часовой объем воздуха при 220° для сжигания оплавка	Мт./час.	$6,5 \times 2,016 = 12,700$	$6,5 \times 1,935 = 11,200$
7) Объем воздуха для сжигания топлива (§ 4) при температуре 3040°	—	$10,8 \times 2,016 = 20,700$	$10,8 \times 1,935 = 20,000$
8) Температурный перепад газов (1)	°C	162	161
9) воздуха	—	185	181
10) Отношение температ. перепадов: ($\frac{7}{8}$)	—	1,13	1,13
11) Сопротивление воздушного экономайзера со стороны зон	Мм. в. ст.	2,95	3,35

распределительные устройства 6.600 и 33.000 вольт подстанций Московского кольца.

П. Г. Грудинский и И. М. Нофель.

(Продолжение 5).

распределительное устройство 33.000 вольт.

Схема электрических соединений устройства 33 киловольт, где имеется две системы собирательных шин, каждая из которых любой фидер или трансформатор, имеющий по одному масляному выключателю, могут присоединяться по желанию путем переключения шинных шин.

Как и в устройствах 6.6 киловольт, на каждом фидере 33 киловольт (кабеле или воздушной линии) предполагается установка реактивных катушек с реакторами в 6%.

Защита от перенапряжений осуществляется—помощью разрядников. Сравнительный анализ на подстанциях приложений показывает, что применение разрядников на подстанциях, смонтированных на воздушных линиях, неизбежно.

Как и в устройствах 6.6 киловольт, на каждом фидере 33 киловольт (кабеле или воздушной линии) предполагается установка реактивных катушек с реакторами в 6%.

Защита от перенапряжений осуществляется—помощью разрядников с собирательными шинами значительно ухудшает защитное действие. В существующих устройствах применяются различные установки в закрытом виде, имеют сопротивление, подчиненное закону $R = k \cdot I^2$, и требуются для погашения дуги разряда в случае возникновения (тип Бендниза) и в большинстве случаев присоединяются к собирательным шинам. Для новых разрядников с собирательными шинами значительно ухудшает защитное действие. В существующих устройствах применяются различные установки в закрытом виде, имеют сопротивление, подчиненное закону $R = k \cdot I^2$, и требуются для погашения дуги разряда в случае возникновения (тип Бендниза) и в большинстве случаев присоединяются к собирательным шинам. Для новых разрядников с собирательными шинами, установленных для групп трансформаторов напряжения по одному на каждую систему шин, К этим же трансформаторам напряжения присоединены приборы для измерения тока, необходимые для возможности проверки симметрии, величины и времени включения трансформаторов, с которыми в момент включения нет связи. Ни практике неоднократно приходилось убеждаться в необходимости подобной проверки.

Шиносоединительный масляный выключатель, установленный МОГЭСом во всех устройствах, где есть зазоры

№ 5

Грудинский и Нофель: Распределительные устройства.

ная система шин, служит резервом к трансформаторным и линейным выключателям.

При выборе конструкции устройства 33 киловольт было решено положить в основу уже испытанный тип Измайловской подстанции, внеся в него изменения, подсказанные эксплуатацией.

Несмотря на это эксплуатация устройства 33 киловольт показала недостаточные свойства нового типа конструкции подстанции.

Для примера достаточно привести случай, имевший место 2-го июля 1927 года. В этот день произошло включение в работу нового масляного выключателя 33 киловольт, полученного от французской фирмы. Выключатель был установлен под напряжением 33 кВ (без нагрузки) на 15 минут. Затем напряжение было снижено экскаваторами шинных трешин-теров через этот масляный выключатель было дважды. Сразу же не превышала 150 ампер. Через 20 минут в камере нового выключателя произошло сгорание изоляции отвода проводов, дверь покрылась огнем. Одновременно с этим произошло короткое замыкание, в результате которого выключились все линейные и трансформаторные масляные выключатели. Недалеко, до окончания тушения пожара в камере находился старший инженер-электрик, который изобретатель трешин-теров через этот масляный выключатель был обнаружен.

Последние были поставлены под напряжение и вскоре за этим, было восстановлено питание отходящих линий от одного стационарного в работе трансформатора. На все эти операции потребовалось около 15 минут. В помещении оператора было обнаружено и исправлено множество следов дыма и конопы.

Между тем сила вспышки была такова, что не только были разбиты стекла над железными дверьми камеры выключателя (см. рис. 10), но и самые двери были раскрыты и изогнуты. Взрывом были изломаны газовые трубы, а также изогнуты двери здания в отдалении от места взрыва стены, видные на той же фотографии (рис. 10). Возникший в камере пожар (горело масло в изгражденном и оторванном кожухе) был потушен пеком.

Рис. 8. Выход в воздушной линии существующей Измайловской подстанции 33 кВ.

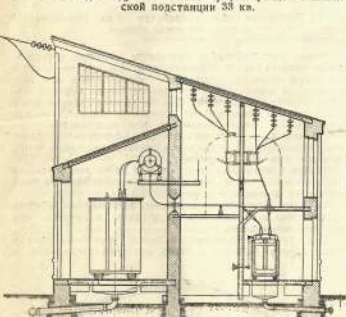


Рис. 9. Поперечный разрез по трансформаторной ячейке существующего здания 33 кВ Измайловской подстанции.

распределительное устройство 33 киловольт Измайловской подстанции (см. рисунки 3 и 9) было выстроено в 1925 году. Характерной его особенностью является наличие совершенно изолированных от остальной части устройства камер для масляных выключателей с открытыми наружку дверьми. Второй особенностью этого устройства является то, что из изолированной камеры масляным выключателем входят собирательные шины и шинные трешин-теры. При проектировании предполагалось, что эти трешин-теры будут снабжены механическими приводами, рукоятки которых будут расположены рядом со штифтами для масляных выключателей. Таким образом, можно было подключать собирательные шины и один только коридор. Верхние же юстировочные (один над камерами выключателей, другой—у стены трансформаторного помещения) предназначались только для ремонта и под напряжением вход на них предполагался запрещать. К сожалению, из-за необходимости срочного



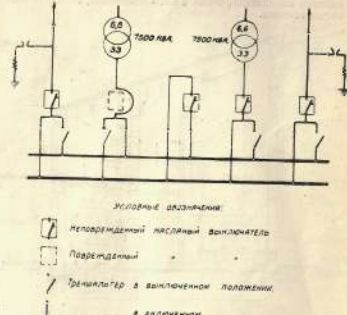
Рис. 10. Наружный вид ячейки выключателя Измайловской подстанции 33 кВ после аварии.

тушения пожара значительно облегчилось тем, что, ввиду полной изолированности камеры и выхода ее наружу, можно было не опасаться близости частей устройства, находящихся под напряжением, сосредоточиться на месте пожара и бороться с ним, не опасаясь попасть на открытый воздух, а не в наполненном дымом помещении.

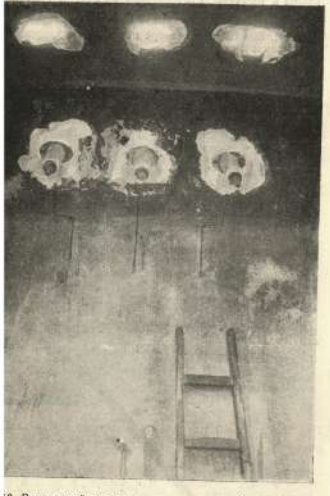
Вид выключателя показан на рисунке 11. Появление его произошло от перекрытия деревянной траверсы, на которой укреплены подвижные контакты, вероятно, вследствие недостаточно тщательной просушки траверсы и удаления из нее солей на заводе.



этого можно было спокойно и в торопливых приступах к восстановлению остановившейся без напряжения камеры и замене поврежденного выключателя другим.



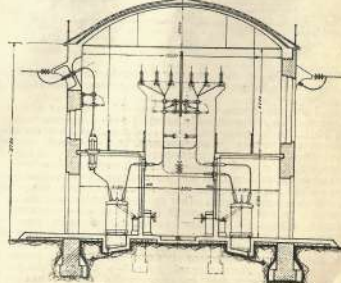
Сама камера оказалась покрытой толстым слоем котла, а проходные трансформаторы тока и втулки не сильно поврежденными (рис. 12). Возникшее на них контактное замыкание было равноильно короткому на шинах.



2. Внутренний вид камеры выключателя Измайловской подстанции 33 кв. после аварии.

ременной перемычкой шинные трансформаторы были соединены между собой и с выключателем, что можно видеть из изображения на рисунке 9. Поперечный разрез, осуществляется через центральный проход, и форматор былключен в работу через шинно-соединительный масляный выключатель по схеме рис. 13. После

Рис. 14. Типовой поперечный разрез новых устройств 33 кв. подстанций Московского кольца.



смысла безопасности ремонтные работы и вызывало неудобства в обслуживании устройства.

При проектировании новых устройств 33 кволовых Московского кольца эти недостатки были учтены и была разработана конструкция, которая, при сохранении положительных качеств устройств Измайловской подстанции, позволила бы устранить его отрицательные свойства.

расстояниями между железными дверьми. Расположение этой аппаратуры в отдалении от Измайловской подстанции, принятой Григорьевым и Абрамовым, позволяет, чтобы достигнута значительная экономия площади, занимаемой устройством, так как погребенная по длине здания ширина трех масляных выключателей в 4,400 м.м. дистанция не шаживает расположением аппарата, а размерами трехщечных

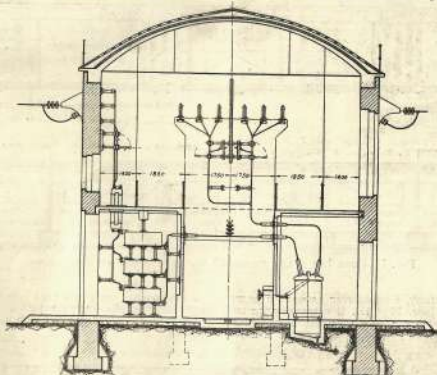


Рис. 15. Здание 33 кв. Карабарской подстанции. Поперечный разрез по кабельному фидеру.

Такая конструкция изображена на рис. 14. Здание этого распределительного устройства, как и в Измайловской подстанции, двухэтажное. В первом этаже установлены трансформаторы высоковольтные, во втором этаже трансформаторы и собираются шины. Все аппаратура 1-го этажа устанавливается в соружаные якорные ящики, поставленные на верхних мостиках и закрыты спаружаными

выключателями VI серии с разрывной мощностью в 1.000.000 квт.

В коридоре управления устройства помешаются масляные приводы масляных выключателей (мощности включаются для выключения приводов 19 и 0,7 киловатт) и механизмы для выключения трансформаторов.

Отсутствие над этим коридором потолочного покрытия делает его светлым и позволяет персоналу находиться трансформаторами сборных шин и отходящих линий (изолиторами) и трансформаторами отходящих линий не видеть из коридора узкие окна.

В полу коридора управления устраивается кабельный канал, покрытие которого выполняется съемными и несъемными.

Монтаж и ремонт как шинных, так и линейных трансформаторов производится с достоянием просторных боковых коридоров, расположенных в 1-м этаже здания. Для безопасности этих работ трансформаторы отсоединяются группами друг от друга железобетонными перегородками.

Расположение сборных шин производится горизонтальное с расстоянием между фланцами в 750 м.м. Крепление их выполнено на опорных изолиторах. Рабочая и запасная система шин разделены перегородкой, к нижней части которой прикреплены трансформаторы.

Здание запроектировано из кирпича, холдинговых, несъемных, с отапливаемой крышей, деревянными рамами и железными дверьми.

При проектировании этого устройства была сделана попытка разработать вариант с масляными выключателями, подведенными, как в зданиях 6.600 вольт, над зданием, и с тем же самое, в виде изолитов отходящих воздушных линий, здания при этом варианте получается 3-этажным, большим по объему, более сложной конструкции и без каких-либо эксплуатационных преимуществ.

Как уже упоминалось, на каждом фидере 33 кило-вольт имеется установка реактивных катушек с реактивным сопротивлением в 6%.

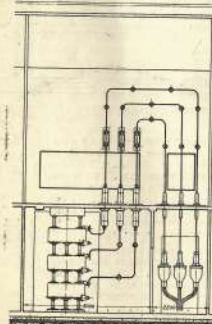


Рис. 16. Здание 33 кв. Карабарской подстанции. Продольный разрез по реакторной и кабельной ячейкам.

Грудинский и Нофель: Распределительные устройства.

БЮЛАТЕЛЬ ИМ.
КОЛОССОВА МОСЭС

На кабельных выводах 33 киловольт, как, например, на 2-х выводах Караваевской подстанции, эти жгуты устанавливаются в первом этаже здания, и наружный разрез здания и здание от трехблочного трансформаторной группы открытой подстанции.

которому в будущем году будет переделано также и все существующее здание. На рис. 19 показан поперечный разрез здания и здание от трехблочного трансформаторной группы открытой подстанции.

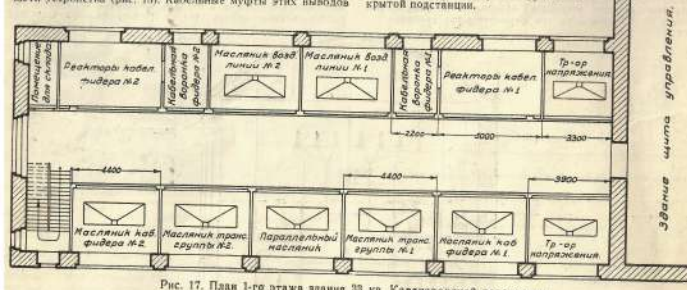


Рис. 17. План 1-го этажа здания 33 кв. Караваевской подстанции.

располагаются также ямы в отсасывающих камерах и рядом с ячейками реакторов (рис. 16 и 17). В остальном, здание устройств 33 киловольт Караваевской подстанции выполнено, как изображено на рис. 14. Расположение в плане

в заключение приводим веса оборудования и основные размеры здания устройства 33 киловольт Московского Кольца.

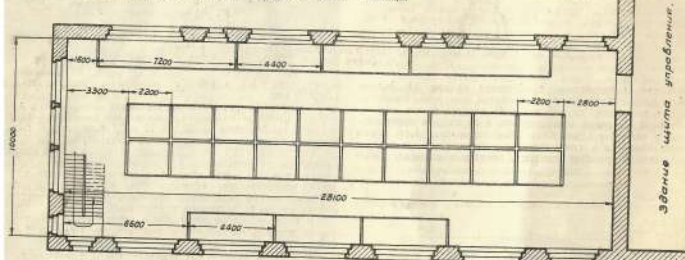


Рис. 18. План 2-го этажа здания 33 кв. Караваевской подстанции.

этажей 1 и 2 этажей устройства, показанное на рисунках 7 и 18, является типовым для новых подстанций 33 киловольт Московского кольца.

Возможность установки в будущем реактивных катушек на выводах в здашниых линий 33 киловольт предвидется в новых подстанциях, так и при расширении существующих подстанций в Измайлово. На новых подстанциях эти катушки должны быть установлены или отдельным зданием со входом воздушных линий и распределительным устройством или американского типа на трансформаторах воздушных линий. На Измайловской же подстанции они должны быть установлены в здашниих линиях и имеющие выход лиши наружу (рис. 19 реакторы показаны сечениями). Расширение устройства 33 киловольт существующего здания выполнено, как уже упомянулось выше, в виде профилей: один для выводов воздушных линий, и другой для трансформаторных групп. Расширение здания выполнено по первому профилю, по

Написание балансования		Вес в кг.
Трехфазные вспомогательные катушки	на катушах VI серии, 600 А, в 100000 кв. см разрывной мощности	2600 без масла 1140 масло
Реактивные катушки 6/3 реактора	1 шт.	3.800
Однотрансформаторные трансформаторы напряжения	1 шт.	3.800
V6 V3	1 группа	435 без масла 165 масло
Трехфазные тренажетеры VI серии	350 А, с приспособлением для монтажа	8×85
Однотрансформаторные тренажетеры VI серии	50 А, с приспособлением для замены	8×28
Трансформаторы тока VI серии промышленного и бесполосного при коротком замыкании типа 250/5 ампер	1 шт.	примерно 100
Проходные втулки VI серии	1 шт.	15
Опорные изолаторы VI серии	1 шт.	6

№ 5.

Шицман: Выбор мест отбора пара для подогрева питательной воды.

63

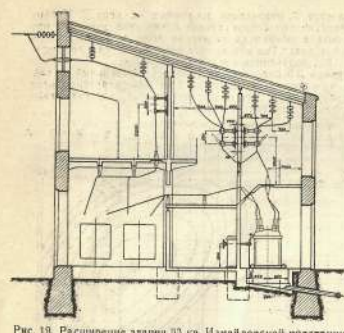


Рис. 19. Расширение здания 33 кв. Измайловой подстанции. Поперечный разрез по выходу воздушной линии.

Основные размеры здания новых устройств 33 киловольт следующие:

Ширина здания—10 метров, высота—9,5 метра, ширина ячеек мицелиальных выключателей по длине здания—4,4 метра, ячейки реактивных катушек—5,6 метра, камеры монтажа кабельных выводов—2,2 метра и ячейка трансформаторов

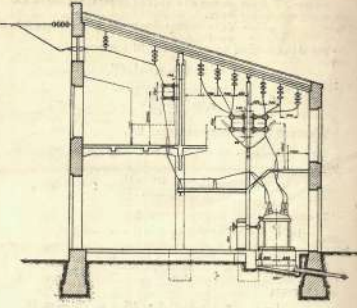


Рис. 20. Расширение здания 33 кв. Измайловой подстанции. Поперечный разрез по входу трансформаторной группы.

Выбор мест отбора пара для подогрева питательной воды.

С. Е. Шицман.

В текущей работе Промышленного Отдела МОСЭС пришлось столкнуться с вопросом о выборе наименее опасных мест отбора пара в случае различного числа отборов.

Имеющиеся по этому вопросу указания в литературе¹⁾ настолько скучны и нексы, что было решено провести детальный расчет выбора наименее опасных точек отбора. Для этого был выбран для одного частного случая пароводяной контур, состоящий из турбины, кипячильника и парогенератора, позволяющий получить результаты и по этому представляющим интерес для тех, кому приходится сталкиваться с регенеративным циклом в паровых турбинах.

Частный случай, для которого производился расчет, следующий: многоступенчатая турбина мощностью 70-80 тысяч квт. пар, парогенераторный контур 15-16% с перегревом 40°C. Относительный эффективный коэффициент полезного действия на валу турбины был исчислен на основе удельного расхода пара в 80,0% (по данным станции Руммельсбург). Начальная температура конденсата была принята в 28°C и температура подогрева воды в каждом подогревателе принималась на $\Delta t = 10$ ниже температуры на-

смыкания обогревающего пара. Потери тепла на излучение турбины, парогенератора и подогревателей не учитывались, так как это не только не всегда возможно, но и в тоже время упрощает расчеты. Примитив для расчета склон подогрева показана на черт. 1. Кипячильник, испаритель, реактор и вней не предусмотрены. Тем не менее, как это будет показано ниже, влияние испарительной установки на выбор оптимальной точки отбора легко учтеть.

Рассмотримся для случая трех ступеней, двух и трех отборов. В силу большой мощности турбины в большом числе ступеней, относительный внутренний к. п. д. частей турбин от отборов был принят равным относительному внутреннему к. п. д. всей турбины, который был исчислен для данного случая в 85,9%.

Формулы, по которым производился расчет, приводятся ниже для случая 3-х отборов. Принятые обозначения следующие:

r_1, r_2 и r_3 — Температура конденсата соответствующая после конденсатора, I, II и III подогревателей.

P — Порядковый счет мест отбора производится по направлению движения пара.

$\Delta t_1, \Delta t_2$ и Δt_3 — Температурные сложности и отбора пара в них.

H_1, H_2, H'_2 и H'_3 — Действительное тепlopадение в турбине от начального давления до давления в конденсаторе и в местах отбора в ккал/кг.

ΔH — Абсолютный внутренний коэффициент полезного действия турбинной установки при наличии регенеративного цикла.

$\Delta H'$ — Абсолютный внутренний коэффициент полезного действия турбинной устано-



¹⁾ См. журнал AEG-Mit. за 1927 г., стр. 246 и 280 и Power за 1926 г., т. 2, стр. 368.

Шицман: Выбор мест отбора пара для подогрева питательной воды.

Бюллетень №5
Бюллетеней №5 ГУГС

новки при чистой конденсационной работе.
— Термическая экономия от регенеративного цикла.

вой баланс подогревателя III (см. черт. 1):

$$(1-a_1) \cdot t^{\text{III}} + a_1 \cdot t_1 = t_{\text{III}} \cdot t^{\text{II}}$$

$$a_1 = \frac{(1-t_1)}{t_{\text{III}} - t^{\text{II}}}$$

вой баланс подогревателя II:

$$(1-a_1 - a_2) \cdot t^{\text{II}} + a_2 \cdot t_2 = (1-a_1) \cdot t^{\text{II}}$$

$$a_2 = \frac{(1-a_1) \cdot (t^{\text{II}} - t^{\text{I}})}{t_2 - t^{\text{II}}}$$

вой баланс подогревателя I:

$$-a_1 - a_2 - a_3) \cdot t^{\text{I}} + a_3 \cdot t_3 = (1-a_1 - a_2) \cdot t^{\text{I}}$$

$$a_3 = \frac{(1-a_1 - a_2) \cdot (t^{\text{I}} - t^{\text{B}})}{t_3 - t^{\text{I}}}$$

иена:

$$-(1-a_1 - a_2 - a_3) \cdot H^{\text{I}} + a_1 \cdot H_1 + a_2 \cdot H_2 + a_3 \cdot H_3$$

иена

$$\eta' = \frac{H^{\text{I}}}{t_3 - t^{\text{B}}}$$

$$\eta = \frac{t^{\text{I}} \rho e - w'}{t^{\text{I}}} \cdot 100\%$$

налогичным формулам производился расчет для одного и двух отборов на кривых изображенных на черт. 2. Кривые изображенные линией представляют собой зависимость между величиной экономии и температурой подогрева воды одного отбора. Кривые изображенные тонкими прямыми линиями представляют зависимость между температурой подогрева воды в первом и втором отборах при различных температурах пара в первом подогревателе, причем последние лежат в точке пересечения тонких кривых с жирной. Кривая показывает также, что экономия давлена а точка в первом подогревателе, причем последняя лежит в точке пересечения тонких кривых с жирной.

Приемая AU представляет собой тот предельный случай, когда температура после 1-го подогревателя равна 26°C, т.е. подогрев в 1-ом подогревателе равен нулю.

Приемая BW представляет собой предельную температуру подогрева воды в 2-ом подогревателе, т.е. температуру наивыгоднейшего пара минус $\Delta t = 10^{\circ}\text{C}$, в данном случае для 38 atm. abs. это составляет около 237°.

Если в полученному треугольнике провести медианы AD и BE , то оказывается, что точки их пересечения совпадают с точками наивыгоднейших комбинаций подогревов в 1-ом и во 2-ом подогревателях.

Давно, если задается какой-нибудь температурой подогрева в 1-ом подогревателе, то наивыгоднейшую температуру подогрева воды во 2-ом подогревателе определяется как точка касания вертикаль, проходящей через заданную температуру, с кривой наивыгоднейшей экономии.

Как легко усмотреть из чертежа, все точки касания вертикаль с кривыми одинаковой экономии лежат на линии BE , т.е. медиана BE является геометрическим местом наивыгоднейших температур подогрева воды во втором подогревателе при различиях заданных температурах подогрева воды в первом подогревателе.

Например, если нам задано, что в 1-м подогревателе вода подогревается до 150°C (см. черт. 3), то наивыгоднейшую температуру подогрева воды во 2-ом подогревателе найдем, проведя вертикаль через точку 150° на пересечении с линией BE .

Аналогичная картина получается, если задана температура подогрева воды во 2-ом подогревателе и требуется определить наивыгоднейшую температуру подогрева воды в 1-ом подогревателе. В этом случае медиана AD является геометрическим местом наивыгоднейших температур подогрева воды в 1-ом подогревателе при различных заданных температурах подогрева воды во 2-ом подогревателе. Для определения наивыгоднейшую температуру подогрева воды в 1-ом подогревателе при заданной температуре подогрева во 2-ом, нужно через заданную температуру провести горизонталь до пересечения с медианой AD и из точки пересечения опустить перпендикуляр на ось абсцисс.

Благодаря таким свойствам медиан AD и BE представляются в виде линий, проходящих через определенные наивыгоднейшие подогревы воды, которое позволяет сделать обобщение на любое число отборов. Из этого обстоятельства, что при двух отборах и свободы выбора температур подогрева воды в каждом из подогревателей наивыгоднейшая температура лежит на пересечении медианы, вытекает, что для достижения наивыгоднейшей температуры при трех отборах подогрев воды в 3-ом подогревателе должен разниться подогреву воды в 2-ом подогревателе и должен равняться одной трети от разности 227–26, т.е. подогрев в каждом подогревателе должен равняться

Шицман: Выбор мест отбора пара для подогрева питательной воды.

65

горизонталь до пересечения с медианой AD и из точки пересечения опустить перпендикуляр на ось абсцисс.

Благодаря таким свойствам медиан AD и BE представляются в виде линий, проходящих через определенные наивыгоднейшие подогревы воды, которое позволяет сделать обобщение на любое число отборов. Из этого обстоятельства, что при двух отборах и свободы выбора температур подогрева воды в каждом из подогревателей наивыгоднейшая температура лежит на пересечении медианы, вытекает, что для достижения наивыгоднейшей температуры при трех отборах подогрев воды в 3-ом подогревателе должен разниться подогреву воды в 2-ом подогревателе и должен равняться одной трети от разности 227–26, т.е. подогрев в каждом подогревателе должен равняться

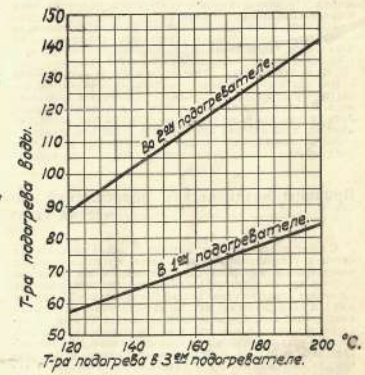
Как показал расчет для случая 3-х отборов, для достижения максимальной экономии подогрев воды в каждом подогревателе должен составлять в этом случае

$$\frac{227 - 26}{3} = 67^{\circ}$$

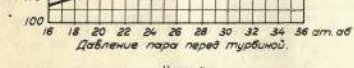
Общая температура подогрева воды составит

$$\frac{227 - 26}{3} + 26 = 177^{\circ}$$

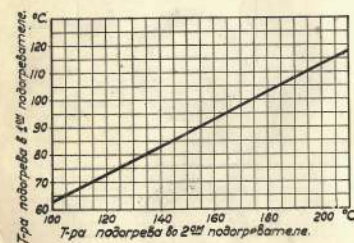
°C.



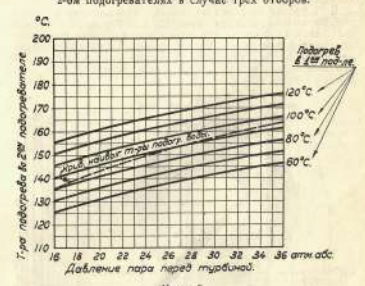
Черт. 6.
Наивыгоднейшая температура подогрева воды в 1-ом и во 2-ом подогревателях в случае трех отборов.



Черт. 4.
Наивыгоднейшая температура подогрева воды в зависимости от давления пара.



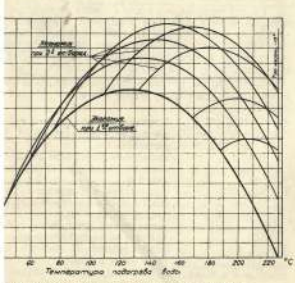
Черт. 5.
Наивыгоднейшая температура подогрева воды в 1-ом подогревателе.



Черт. 7.
Наивыгоднейшая температура подогрева воды во 2-ом подогревателе и кривая наивыгоднейшей температуры подогрева воды.

На основании вышеизложенного, правило для выбора наивыгоднейших подогревов воды при различном числе отборов можно сформулировать следующим образом:

Для получения максимальной экономии от регенеративного цикла следует величину



Черт. 2. Экономия при одном и двух отборах.

на четырех комбинациях подогревов воды в 1-ом и 2-ом подогревателях, не особенно выразительное и яркое представление о различных комбинациях подогревов воды дают кри-

в нас. пара перед турбиной — $\Delta t = t - t_{\text{когда}}$ — подогрев на число отборов плюс единица. Полученный результат представляет собой подогрев в каждом подогревателе".

На основании этого правила построены кривые на рис. 4 при условии

$$\Delta t = 10^\circ \text{ и } t_{\text{когда}} = 26^\circ$$

и нас. пара перед турбиной — $\Delta t = t - t_{\text{когда}}$. В том случае, когда температура подогрева воды в 1-ом подогревателе нам не задана и мы ее выбирам каким-то образом, то получится различное влияние на выбор места установки каждого отбора. Обычно пар для испарителя берется на 2-ом отборе, а пар для испарителя омывается конденсатором, уже прошедшем через испаритель. Поэтому, то испаритель следует рассматривать как часть 2-го подогревателя; если же испаритель включен до 1-го подогревателя, то следует за 1-м концом принимать температуру конденсата испарителя, и дальнейший расчет идет так, как при отсутствии испарителя.

В заключение укажем, что вышеизложенное правило для выбора наименее нагретой температуры подогрева воды в том случае, когда температура подогрева в 1-ом подогревателе не задана, можно применять к тепло-подогревателю для случая 8-и или 9-ти отборов.

На практике может встретиться и такой случай, когда место промежуточного отбора. В этом случае между 5 и 6 навесенных кранами, дающих возможность достичь различных температур подогрева в 1-ом подогревателе, должно быть задано место установки тепло-подогревателя для случая 8-и или 9-ти отборов.

На практике может встретиться и такой случай, когда место промежуточного отбора может определять наименее нагретую конечную температуру подогрева для двух отборов при заданном месте 1-го отбора.

Пунктирная кривая на черт. 7 представляет собой наименее нагреваемую температуру подогрева воды при двух отборах.

ИЧИНЫ МЕХАНИЧЕСКИХ ПОВРЕЖДЕНИЙ ОДНОФАЗНЫХ ДРОССЕЛЬНЫХ КАТУШЕК В ЭЛЕКТРИЧЕСКИХ СЕТИХ 30.000 ВОЛЬТ.

П. В. Савельев.

Средняя величина силы механического взаимодействия, вычисляемая при эффективном значении тока короткого замыкания I_s по формуле

$$y = 10 \frac{J_d^2}{\pi \cdot d} \cdot \frac{T_1 - T_2}{h_0 - h_1}, \quad (1),$$

$y = 200$ — 312.

— сила тока, проходящего через катушку при измерении электродвижущей силы взаимодействия в соседней с ней катушке.

T_1 — электродвижущая сила взаимодействия при расстоянии между катушками h_0 .

T_2 — то же при расстоянии между ними — h_1 .

J_d — электродвижущая сила взаимодействия при расстоянии между катушками h_1 .

h_0 — расстояние между соседними катушками, увеличенное в 2 раза для получения $T_1 = T_0 - 31$.

h_1 — то же, уменьшенное против нормального для получения $T_2 = T_0 + 51$.

h_0 — нормальное расстояние между катушками, при которых электродвижущая сила взаимодействия равна T_0 .

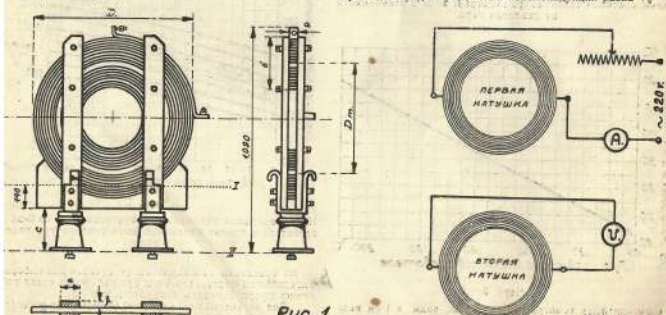


Рис. 1

Рис. 2

№ 5

Савельев: Принципы механических повреждений дроссельных катушек 30.000 вольт.

67

Измерения были произведены у катушек, установленных перед трансформатором мощностью 2500 квт, 33,3 квт/квт на Дрезденской подстанции.

Электрические данные и размеры катушек инженерному (см. рис. 1):

2-я катушка. $I_s = 400$ квт. $P = 2$ квт. $d = 2390$ мк. $b = 90$ мм. $h_0 = 460$ мм. $P = 2$ квт. $d = 2390$ мк. $b = 90$ мм. $h_0 = 460$ мм. $P = 2$ квт. $d = 1720$ мк. $b = 88$ мм. $h_0 = 500$ мм. $P = 2$ квт. $d = 1720$ мк. $b = 88$ мм. $h_0 = 600$ мм. $P = 2$ квт. $d = 1240$ мк. $b = 88$ мм. $h_0 = 600$ мм. $P = 2$ квт. $d = 1000$ мк. $b = 88$ мм. $h_0 = 700$ мм. $P = 2$ квт. $d = 760$ мк.

Расстояния — $h_0 = 350$ мм, $h_0 = 700$ мм, надо считать практическими предельными, при чём, конечно, во всех отношениях желательно всегда придерживаться расстояния в 700 мм между катушками. Из этого же ясно, что при увеличении расстояния между катушками в 2,14 раза сила их взаимодействия уменьшается в 5,05 раза, т.е. почтительно пропорциональна квадрату расстояния между ними, что свидетельствует о правильности произведенных измерений.

Имя величины механических усилий R_y , легко производить прикатушках на механическую прочность.

Из произведенных выше измерений видно, что опасные сечения лежат в плоскости I—I и II—II, причем в первой из них подвергается изгибанию напряженные боковые деревянные опоры (см. рис. 1) а во второй — фарфоровые изолиторы катушек.

Проверка на прочность конструкции в этих сечениях дает следующие результаты:

Сечение в плоскости I—I. Момент сопротивления каждой деревянной планки при ее изгибе:

$$W_y = \frac{x \cdot s^2}{6} = \frac{8,8 \cdot 2,9^2}{6} \approx 9,2 \text{ см}^3$$

Изгибющий момент от силы P_s , приложенной в центре катушки для двух панок, расположенных над обоями изолиторами:

$$M_{y,I} = 2 W_y K = \frac{P \cdot d}{2} \text{ откуда}$$

$K_y = \frac{P \cdot d}{2 \cdot 2 W_y} = \frac{P \cdot d}{4 W_y}$

2. Сечение в плоскости II—II.

Момент сопротивления на изгиб колышевого сечения фарфорового изолитора типа S_0 :

$$W_{y,II} = 0,836, \text{ где } y = l_2/(d+d) = l_2(124+96)/188 = 113,1 \text{ см}^3, \text{ и } x = 1,1 \text{ см}, \text{ откуда } W_{y,II} = 0,8 \cdot 113,1 / 188 = 5,2 \text{ см}^3.$$

Изгибющий момент от силы P_s , приложенной в центре катушки действующий на нижнее основание изолитора:

$$M_{y,II} = \frac{P \cdot d}{2} = W_{y,II} K_y \text{ откуда}$$

$K_{y,II} = \frac{P \cdot d}{2 W_{y,II}} = \frac{P \cdot d}{2 \cdot 0,836} = \frac{P \cdot d}{1,672}$

К — предельное напряжение на изгиб для фарфора которое ни в коем случае не должно превышать 250 кг/см².

Испытательный Станции Завода «Изоляторы»

К $y, II = \frac{P \cdot d}{2 W_{y,II}} = 250$

В действительности же исходя из эффективной силы тока двухфазного короткого замыкания в 3000 ампер и пользуясь выведенными соотношениями для разбросанных восьми разных расстояний между катушками получаем:

Для $h_0 = 350$ мм.	$K = 1170$ кг.
2) $h_0 = 460$ мм.	$K = 3190$ кг.
3) $h_0 = 500$ мм.	$K = 1870$ кг.
4) $h_0 = 600$ мм.	$K = 1250$ кг.
5) $h_0 = 700$ мм.	$K = 827$ кг.

Иными словами механическая прочность катушек даже при максимально допустимом на практике расстоянии в 700 мм между катушками для сетей 30 квт в сетях с пятью ставками изолиторами на одинаковой высоте, в данных сечениях МОСС оказывается совершенно недостаточной, причем получающие напряжения на изгиб дерева в плоскости I—I превышают допускаемые примерно в семь раз.

В плоскости II—II получающие напряжения на изгиб фарфорового изолитора в сетях с пятью ставками изолиторами для расстояний между катушками не меньшим 700 см² для расстояний между катушками не меньшим 700 для всех меньших расстояний между катушками получающие напряжения оказываются значительно выше предельных допускаемых (250 кг/см²).

Полик: Электропередачи 220.000 вольт.

Технология Илья
Кохматиков МОИАТаблица 1.
Температуры плавления золы подмосковного угля.

№ образцов	Температура плавления конуса Зегера X		Температура расплавления конуса Зегера N		Примечание
	Конус Зегера X	°С	Конус Зегера N	°С	
	7718	30	1.670	93	1.780
					От уголь Шекинской копей
	7601	29	1.650	31	1.690
					Из отходов Бобриковской электростанции
					Испытание огнепроницаемости производилось в испарительных кирнелевых печах, в условиях окисленной атмосферы и скорости подъема температуры около 7° в минуту, сравнивались конусами Зегера.
					Несмотря на то что результаты испытаний о химическом составе золы, приведенные выше результаты представляют для нас особенный интерес в виду того, что условия огнепроницаемой газовой среды близко подходят к условиям сжигания пылевидного топлива.

Электропередачи 220 000 вольт.

Н. А. Полик.

Районные электрические станции, снабжающие местные и использующие гидравлическую энергию, в настоящее время становятся основными источниками электроснабжения крупных промышленных центров Союза ССР. По мере того, как потребление приходится иметь дело с вспышками энергии, возникающими в результате работы зерновых, подлежащих транспорту по электропередачам.

До сего времени для магистральных электропередачи применялось и применяется в настоящий время напряжение 500 000 вольт. Обычно приходится иметь дело с передачей 1-200 000 калорий в час на несколько десятков тысяч км, максимальное же потребление лежит в пределах 0-100 000 калорий в час на несколько десятков тысяч км.

В настоящий момент на работают 130 линий тока напряжением 220 000 вольт из которых 120 линий (на реке Засекинской), которая по всем однородным линиям будет передавать до 400 000 киловатт на различном удалении.

В Европе в сего времени построена лишь одна линия 220 000 вольт от станции Райнхартсхаузен (район Кельна) до Мангейма в Германии, но до настоящего времени линия работает под напряжением 110 000 вольт. Такая обвязка только Америка обладает длительным опытом в постройке и эксплуатации линий 220 000 вольт. Европа лишь начинает свою работу в этой области.

В отдельных случаях, однако, мощность станции, подающей передаче в район потребления, настолько велика, что напряжение 110 000 вольт оказывается недостаточным для расчета, произведенного для таких случаев, показаний, чтобы удовлетворить целый ряд параллельных линий, число которых высокое даже за пределами того, что заслуживает для обеспечения непрерывности.

В таких случаях приходится переходить на более высокое напряжение, которое по международной шкале 220 000 и 250 000 вольт. Расчеты для линий 250 000 вольт производятся в настоящее время для следующих сооружаемых в Союзе линий электропередач: Свердловской (Дзержинский район), Бобриковской (Московский район) и электростанции Днепростроя в Донбассе.

Наиболее перспективный способ в настоящий момент при проектировании линий, а именно это предварительный подход к вопросам их проектирования.

Первые электропередачи 220 000 вольт построены в 1924 году в Калифорнии (Сев. Америка), для передачи

энергии с гидравлических станций. Дальность передачи — от 320 до 450 километров.

В дальнейшем во всей же Северной Америке построены ряд электропередач 220 000 вольт, также для передачи энергии с гидравлических станций и для обогащения электрических сетей, такими линиями Wallerianasch Hydro-Electric, Great Western Power Co., St. Joaquin Light & Power Corporation и т. д.

В настоящий момент существует постройка электропередачи 220 000 вольт от гидравлической установки Owings (на реке Засекинской), которая по всем однородным линиям будет передавать до 400 000 киловатт на различном удалении.

В Европе в сего времени построена лишь одна линия 220 000 вольт от станции Райнхартсхаузен (район Кельна) до Мангейма в Германии, но до настоящего времени линия работает под напряжением 110 000 вольт. Такая обвязка только Америка обладает длительным опытом в постройке и эксплуатации линий 220 000 вольт. Европа лишь начинает свою работу в этой области.

Однако европейским электротехническим фирмам уже разработаны многочисленные конструкции проводников, соединительных клемм и прочей материала для воздушных линий; у тех же фирм имеются разработанные конструкции для установки проводников для напряжения 220 000 вольт.

Америка строит линии 220 000 вольт в преимущественно однородном с горизонтальным расположением проводников. Таковы части калифорнийских линий, новые линии Wallerianasch Hydro-Electric, заканчивающиеся постройкой линии от Сакрамента. Некоторая часть калифорнийских линий, линии сеть Great Western Power Co. и St. Joaquin Light and Power Co. построены двойными (шесть проводников на одну опору). Европа линии также двойных.

Однако линии с горизонтальным расположением проводников для возможной более низкой расположении проводников над землей, эти конструкции позволяют величины воздушных электрических напряжений, которые почти полностью устраняется опасность соприкосновения проводников при тяжелых атмосферных условиях (гололед, ветер и т. д.). С другой стороны, на однородной линии после ее отключения из-за повреждения производить ремонт, ремонтируя же одну из двух линий, в то время как вторая находится в работе, почти невозможно.

3) См. отдел из книг и журналов (стр. 78); Первая установка 220 000 вольт в Европе.

Полик: Электропередачи 220.000 вольт.

№ 5

Полик: Электропередачи 220.000 вольт.

71

Линии 220 000 вольтятся в условиях, когда привлекающимагистральному, называемому «бумажным», покровом должна быть максимальной. Но тем не менее, из передачи которой придется иметь дело в ближайшее время, трудно предположить, что могла возникнуть необходимость в построении отдельных трехпроводных одинарных линий, а также число линий возрастет, совершенствуясь конструкция. Эксплуатационная надежность и возможность производства ремонта отключенной линии оправдывают некоторый расход (на опоры, фундаменты и металлические конструкции) в сравнении с двойными линиями.

А. Электрический расчет электропередач 220.000 вольт.

1. Расчет воздушных линий.

На воздушных линиях 220 000 вольт применяются в качестве проводников полая медь и алюминиево-стальную трассу.

Ввиду значительной мощности, передаваемой по линии 220 000 вольт, применяются проводники больших сечений, в исключительных случаях еще выше.

Полая медь изготавливается разных наружных диаметров и разных нормированных сечений: для сечений меди от 188 до 42 мм. кв. наружный диаметр изменяется от 38

до 42 мм. диаметр алюминиевого покрова. Последний делится на две части, имеющие в противоположных концах стальной трос. Пространство под током в центральном канале следует виткам алюминиевого покрова. Тех как находящийся внутри стальной трассы является желобом сердечника, то при прохождении тока по алюминиевым виткам в стальной трассе возникает поток гистерезиса и ток Фуко. Делением алюминиевого покрова на две части противоположных направлений витков достигается почти полной компенсации магнитных полей; добавочные потери в таких двухслойных проводниках обычно не превышают 2% потеря, обусловленные омическими сопротивлениями алюминия.

Алюминиево-стальные проводники, изготавливаемые на германских заводах, нормированы таким образом, что по электрической проводимости они эквивалентны обычным нормальным сечениям меди и обозначаются номерами этих сечений. Так например, алюминиево-стальной проводник № 150 эквивалентен по проводимости сечению меди 150 кв. мм., проводник № 240 — сечению меди 240 кв. мм. и т. д. При этом учитывается проводимость только алюминия покрова.

В таблице I приведены основные величины, характеризующие полую медь, в таблице 2 — алюминиево-стали проводников.

Таблица 1.

Сечение	Наруж.	Вес 1000	Строительная	Нес	Проводника	R	mL^{-1}	αC
188 кв. мм.	25 мм.	1850—1945 кгр.	1250 мтр.	600 кгтр.	Полая медь 188— (Ф 25 мм.)	0,0675 Ω/км.	0,417 Ω/км.	273,10 ⁻⁶ м/км.
240 кв. мм.	25 мм.	2375—2520 кгр.	1900 мтр.	600 кгтр.	Полая медь 240— (Ф 25 мм.)	0,0756 ..	0,417 ..	273,10 ⁻⁶ ..

Таблица 2.

№ (или	сечени	Наруж.	Вес 1000	Суммарное сече-	Соотвто-	диам.	R	mL^{-1}	αC
				метров про-	ние стек-	нади-			
№ 150	29,1 мм.	1634—1765	309,9	1:5,87	—	—	—	—	—
№ 165	25,7 мм.	1298—1440	882,9	1:5,75	1.000	—	—	—	—
№ 240	29,1 мм.	1634—1845	491,7	1:8,10	750	—	—	—	—

Таблица 3.

Проводника	R	mL^{-1}	αC	Проводника	R	mL^{-1}	αC
Полая медь 240— (Ф 25 мм.)	0,0756 ..	0,417 ..	273,10 ⁻⁶ ..	Полая медь 240— (Ф 25 мм.)	0,0756 ..	0,417 ..	273,10 ⁻⁶ ..
Алюм.-сталь № 150 (Ф 25,7 мм.)	0,0975 ..	0,445 ..	274,10 ⁻⁶ ..	Алюм.-сталь № 165 (Ф 29,1 мм.)	0,0756 ..	0,407 ..	280,10 ⁻⁶ ..

3) Каффер, Freileitungsbau, стр. 18.

4) «Электротехника», 1926 год, № 8, стр. 352.

на стальных опорах, выполненных по обычной формулой при наружном диаметре проводника 25 мм. и плотности медной опоры 420 кг./куб. см. Установка на линии диаметра 35 мм. для дальнейших расчетов.

Считая расстояние между соседними опорами 300 метров, при проверке этого расстояния получим $\alpha = 220$ см. Проверка этого расстояния показывает, что оно достаточно.

Расчет линий воздушных линий обычно ведется по следующим формулам Зейнебета, давшим соотношение между напряжением и силой тока в начале и конце:

$$D = \frac{P_1}{I_1^2} \cdot \frac{1}{lg q} + 2,2, \quad (1)$$

При протяжке между соседними опорами в 300 метров формула дает следующие результаты:

$$D = 0,75 \cdot \frac{300}{I_1^2} + 2,2, \quad 220 = 565 \text{ см.}$$

Таким образом, выбранное расстояние (600 см) оказывается достаточным.

Проверка на коронование по формуле Реска показывает, что при наружном диаметре проводника 25 мм. и плотности медной опоры 420 кг./куб. см. напряжение (нормированное к концу линии) равняется 220,000 вольт. Таким образом, при наружном диаметре проводника 35 мм. в воздухе имеется уже достаточное изолирующее покрытие.

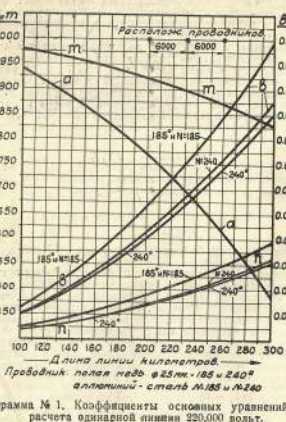
Следует отметить, что в Европе для изоляции линий применяется изолирующая лента, состоящая из четырех слоев сопротивления и сопротивления изолирующей ленты.

Все выражения в формулах (1) и (2), кроме I_1 в форме квадратов. Значение величин $\alpha = B + j\omega L$ и $q = j\omega C$ для однородной линии 220,000 вольт приведены в таблице 2.

Таблица 3.

1) Каффер, Freileitungsbau, стр. 18.
2) «Электротехника», 1926 год, № 8, стр. 352.
3) Коэффициенты сопротивления изолированы по обычной формуле для полого проводника, имеющей вид: $\alpha = k \cdot d^2 / 4 \pi r^2$, где k — коэффициент, зависящий от диаметра и сечения; оплата даже при частичном изолированном проводнике уменьшена не превосходит 1-2%. Так как настоящая статья основана на предложении о том, что для изолированного проводника с внутренней спиралью изолирующая лента имеет меньшее сопротивление, то рассчитывается оно (по сечению) как в пологом виде, так и алюминиево-стальном проводнике не учитывается для сплошного проводника.

Коэффициенты $\sin \varphi$, $\cos \varphi$, $\tan \varphi$ и $\cot \varphi$ в формулах (1) и (2), вычисленные от длины линии, представлены на диаграмме № 1.



Для того, чтобы упростить расчеты напряжения в начале линии, первой формуле придан следующий вид:

$$P_1 = P_2(a + j\beta) + \bar{A}_1(R' + j\omega L') \quad \dots \quad (1)$$

значения $R' + j\omega L'$, равные произведению $Z(m + jn)$, L' , представлены на диаграмме № 2.

К качеству иллюстрации пользования диаграммами приведен следующий пример. По одинарной линии 220.000 вольт, имеющей 220 километров, с проводником из полос меди шириной 185 мм и толщиной 12,2 мм, имеющим сопротивление приложению на приемном конце линии 200.000 вольт, синус φ_2 грузки линии = 0,85. Необходимо определить напряжение в начале линии.

Для линии данных в 220 километров из диаграммы 1 и 2 имеем следующие коэффициенты:

$$a = 0,9710, \quad \beta = 0,0067, \quad m = 0,9900, \quad n = -0,0022$$

$$R' = 0,9976 \Omega/\text{км}, \quad \omega L' = 0,417 \Omega/\text{км}, \quad n = 273,10^{-8} \Omega/\text{км}.$$

аварийное напряжение в конце линии:

$$P_2 = \frac{200.000}{\sqrt{3}} = 115.600 \text{ вольт.}$$

Искусственная мощность в конце линии:

$$80.000 : 0,85 = 94.000 \text{ ква.}$$

При тока в конце линии:

$$J_2 = \frac{94.000}{200 \cdot \sqrt{3}} = 272 \text{ ампера.}$$

В комплексной форме J_2 представляется в следующем виде (sin φ определяется по диаграмме № 2):

$$J_2 = 272 \cos \varphi_2 - j 272 \sin \varphi_2 = 272 \cdot 0,85 - j 272 \cdot 0,525 = -281 - j 143.$$

Подставляя указанные величины в формулы (1) и (2), получим следующие выражения:

$$\bar{P}_1 = 115.600 (0,9710 + j 0,0067) + (-281 - j 143) \cdot (0,9976 + j 0,417) \cdot (0,9900 + j 0,0022), \quad 220 = 112.000 + j 775 + (281 - j 143) \cdot (21,4 + j 22,5) = 180.000 + j 19.000 = A + jB \quad \dots \quad (1)$$

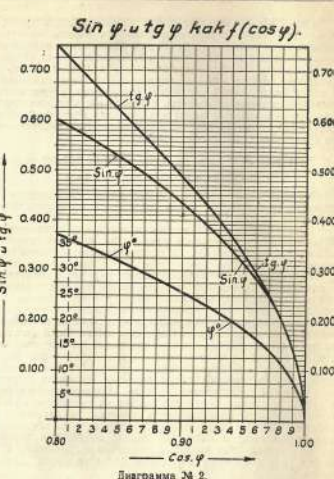


Диаграмма № 2.

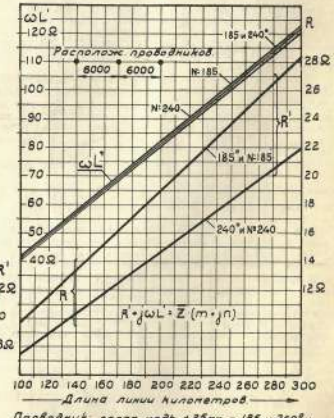


Диаграмма № 3. Принудительное синхронное и индуктивное соединение одинарной линии 220.000 вольт.

$$\begin{aligned} \bar{J}_1 &= (281 - j 143) \cdot (0,9710 + j 0,0067) + \\ &+ 115.600 \cdot j 273,10^{-8} \cdot (0,9900 + j 0,0022), \quad 220 = \\ &= 226 - j 137,5 + j 70 = 226 - j 67,5 = C + jD \quad \dots \quad (2) \end{aligned}$$

$$P_1A = V \bar{J} \cdot \sqrt{190.000 + 19.000} = 181.000 \sqrt{3} = 227.500 \text{ вольт.}$$

$$J_1 = V \bar{J} = 226 + 67,5 = 236 \text{ ампер.}$$

$$\frac{(AC + BD)}{1000}, \text{ т.с.}$$

$$(180.000 \times 226 - 18.000 \times 67,5) / 1000 = 84.300 \text{ киловатт.}$$

$$1.000$$

$$\text{Кажущаяся мощность в начале линии:}$$

$$227.500 \sqrt{3} \cdot 236 = 93.000 \text{ ква.}$$

$$\text{Коэффициент мощности в начале линии:}$$

$$[\cos \varphi] = \frac{84.300}{93.000} = 0,91.$$

$$\text{Коэффициент полезного действия передачи:}$$

$$\frac{\text{Нагрузка в конце линии}}{\text{Нагрузка в начале линии}} = \frac{\text{Мощность в конце линии}}{\text{Мощность в начале линии}}$$

$$[\cos \varphi] = \frac{84.300}{93.000} = 0,91.$$

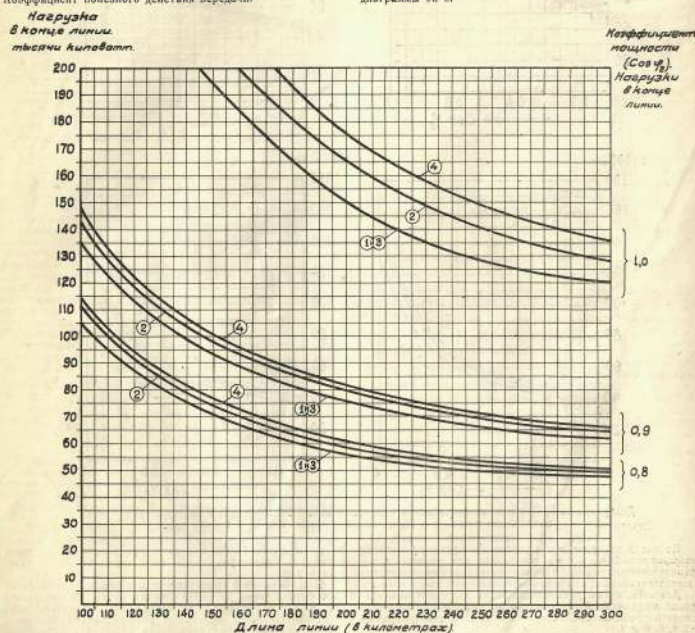
$$1 - \frac{84.300 - 80.000}{84.300} = 1 - 0,05 = 0,95, \quad \text{т.е. } 95\%.$$

В таблице 4 представлены итоги подсчетов.

Таблица 4.

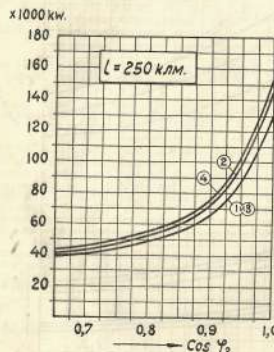
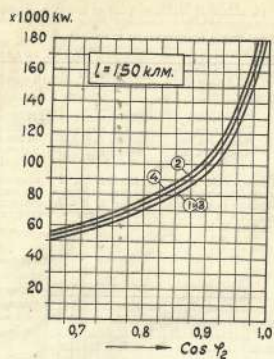
№	Данные	Конец линии (нагрузка)	Начало линии
1	Напряжение	200.000 вольт	227.500 вольт
2	Мощность кат.	80.000 квт.	93.000 квт.
3	Мощность ква.	94.000 ква	93.000 ква
4	СOS φ	0,95	0,91

Приведенное выше выражение для P_1 , полученное из формулы (1), может быть получено также и непосредственно из формулы (1'). В этом случае R' и L' , соответственно равные 21,4 и 9,5 б, прочитываются непосредственно из диаграммы № 3.



Максимальная нагрузка линии: (1) $-3 \cdot 185^\circ$ — полая медь ф25мм \Rightarrow 200.000 ква (на условий нагревания проводника); (2) $-3 \cdot 240^\circ$ — полая медь ф25мм \Rightarrow 220.000 ква (на 35° выше окружающую, воздуха); (3) $-3 \cdot 185^\circ$ — алюминий ф25мм \Rightarrow 200.000 ква; (4) $-3 \cdot 185^\circ$ — алюминий ф28мм \Rightarrow 250.000 ква.

Диаграмма № 4. Пропускная способность одинарных линий 220.000 вольт. Напряжение в начале и конце соответствует 220.000 и 200.000 вольт.

Диаграмма № 4. Пропускная способность однорядных линий 220.000 вольт в зависимости от $\cos \gamma_2$ в начале и конце соответственно 220.000 и 200.000 вольт.

Несмотря на применение упрощений путем применения диаграмм и таблиц, все же приходится для расчета линии производить для каждой данной нагрузки ряд подсчетов и вычислений, отнимаемых много времени. Для того, чтобы дать возможность более ориентировочно проводить приближенные подсчеты, составлено диаграммы № 4, 5, 6 и 7.

Диаграмма № 4 представляет зависимость пропускной способности однорядной линии 220.000 вольт в конце линии приложенной к концу линии, т.е., нагрузки и рода проводника. Диаграммы № 5, 6 и 7, опять же, для того, чтобы дать возможность более ориентировочно определить величину зарядного тока однорядной линии при напряжении в конце 200.000 вольт.

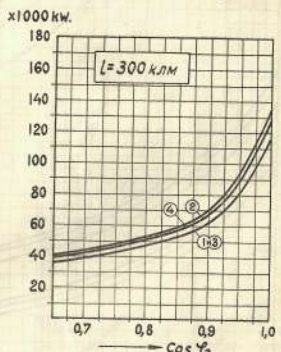
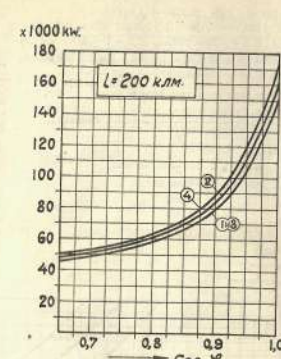
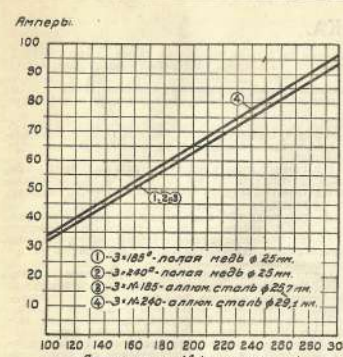
По диаграмме № 4 может быть определена беззатратная способность однорядной линии 220.000 вольт, которая может быть передана по линии. Так, например, по однорядной линии длиной 270 километров по алюминиевому проводнику № 183 при $\cos \gamma_2$ нагрузки = 0.9 может быть передано 64.000 киловатт; при $\cos \gamma_2 = 0.8$ и длине линии 150 километров может быть передано 70.000 киловатт и т.д.

Диаграмма № 5 представляет зависимость пропускной способности линии данной длины от $\cos \gamma_2$. Из диаграммы № 4, из которой даны линии пропускная способность определяется почти полностью коэффициентом мощности ($\cos \gamma_2$), сечение и род проводника имеют второстепенное значение.

Диаграмма № 6 представляет величину зарядного тока однорядной линии при напряжении в конце 200.000 вольт.

По диаграмме № 6 может быть определена беззатратная способность однорядных линий 220.000 вольт при повышении коэффициента мощности нагрузки до нового $\cos \gamma_2$.

Указанные четыре диаграммы дают возможность определить основные технические характеристики электроподачи в следующей последовательности: по диаграмме № 4 опре-

Диаграмма № 5. Пропускная способность однорядных линий 220.000 вольт в зависимости от $\cos \gamma_2$ в начале и конце соответственно 220.000 и 200.000 вольт.Диаграмма № 6. Зарядный ток однорядной линии 220.000 вольт (при $P_2 = 200$ квт).

делается пропускная способность линии, откуда необходимое число параллельных линий определяется по кривым диаграммы № 5, а для промежуточных длин (например, 175 км.) построенным этих кривых по данным диаграммы № 4, определяется $\cos \gamma_2$ в конце линии, необходимый для передачи данной нагрузки. Подсчитав силу тока в конце линии и определив зарядный ток, по диаграммам № 6 определяем силу тока в начале линии. По средней величине силы тока определяем потери в линии, затем мощность и $\cos \gamma_2$ в начале.

По диаграмме № 7 определяется беззатратная мощность синхронных конденсаторов.

В качестве примера приведен пользование диаграммами № 4 и № 6 с помощью следующего примера.

Необходимо передать 250.000 киловатт по электроподаче 220.000 вольт на расстояние 150 километров. При полной нагрузке коэффициент мощности ($\cos \gamma_2$) нагрузки равен 0.8. Из диаграммы № 4 видно, что пропускная способность линии этой длины составляет:

$$\begin{aligned} \text{при } \cos \gamma_2 = 0.8 &= \text{около } 75.000 \text{ кватт,} \\ \text{при } \cos \gamma_2 = 0.9 &= \text{около } 95.000 \text{ кватт,} \\ \text{при } \cos \gamma_2 = 1.0 &= \text{около } 200.000 \text{ кватт.} \end{aligned}$$

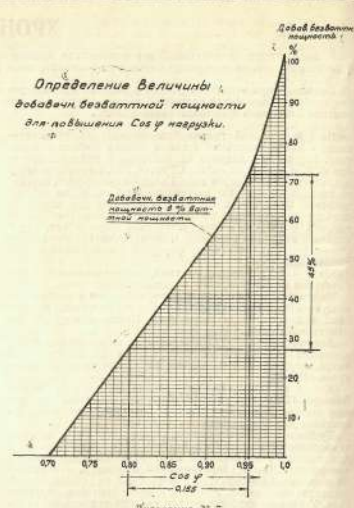
Изменение пропускной способности линии данной длины в зависимости от $\cos \gamma_2$ представлено на диаграмме № 5. Из этой диаграммы следует, что для передачи всей мощности по двум однорядным линиям, т.е. при нагрузке по 125.000 киловатт на линии, необходимо иметь $\cos \gamma_2$ в конце линии равный 0.8556, в зоне же между родом и сечением проводника. Выбрав по таблице сечения для них, получаем из диаграммы № 4 необходимый $\cos \gamma_2 = 0.955$.

Сила тока в конце линии (при $P_2 = 200.000$ вольт) равняется:

$$J_2 = \frac{250.000}{2 \cdot 0.955} \cdot \frac{1}{\sqrt{3}} = 376 \text{ ампер.}$$

Каждая мощность: $250.000 : 0.955 = 261.500$ киловольт-ампер. Ваттная слагающаяся тока равняется $376 \cdot 0.955 = 360$ ампер. Беззатратная слагающаяся равняется $376 \cdot \sin \arg. \cos. 0.955 = 376 \cdot 0.8 = 113$ ампер (Sin γ_2 из диаграммы № 2). Следовательно, общая величина тока в линии, длиной № 6) 47 ампер, на эту величину уменьшается беззатратный ток в начале линии. Общая величина тока в начале линии будет равна:

$$J_1 = \sqrt{366^2 + (113)^2} = 396 \text{ ампер.}$$



По средней величине силы тока в начале и конце $\cos \gamma_2 = 0.875$ ампер определяем потери мощности в линии, которые могут быть выражены формулой:

$$\Delta W = 3 \cdot J_2 \cdot R \cdot L, \text{ киловатт,}$$

где J_2 — указанная средняя сила тока в амперах, R — омическое сопротивление одного километра в омах (см. таблицу № 3) и L — длина линии в километрах.

Для нашего примера потери на одну линию составят:

$$\Delta W = 3 \cdot 376^2 \cdot 0.0975 \cdot 150 \approx 12.000 \text{ киловатт.}$$

Мощность в начале линии составляет $250.000 + 12.000 = 262.000$ ватт.

Каждая мощность на две линии в начале:

$$220 \sqrt{3} \cdot 366 : 2 = 227.000 \text{ ватт;}$$

$$227.000 : 262.000 = 0.845.$$

Результаты такого приближенного расчета линии представлены в таблице 5.

Таблица 5.

№	Данные	Конец линии	Начало линии
1	Напряжение	200.000 вольт	220.000 вольт
2	Сила тока	376 ампер	396 ампер
3	Мощность ватт	250.000 ватт	262.000 ватт
4	Мощность ква	201.600 ква.	277.000 ква.
5	$\cos \gamma_2$	0.955	0.845

(Продолжение следует)

ХРОНИКА.

В этом отделе Бюллетеня будут помещаться краткие сведения о работах по расширению станций и сетей МОГЭС, о росте нагрузок, об отдельных случаях из эксплуатационной практики, об авариях, усовершенствованиях, достижениях и пр.

Помещая ниже некоторые данные о работах по расширению станций и сетей, производимых в настоящий время, редакция сообщает, что более подробные данные об этих работах, в виде отдельных статей, будут помещены в следующих номерах Бюллетеня Инженерно-технических МОГЭС.

На 1 Московской станции заканчиваются работы по установке в новой котельной 3 новых котлов Байбак и Вильямс. Первые 2 указанных котлов пущены в работу 28 сентября. В этот же день вступил в действие парогенератор, введен в эксплуатацию. Котлы водогрейные, морского типа, поверхность нагрева по 1552 кв. м., на парогенераторе давление 38 кг/см², с паропререгревателем для перегрева пара до температуры 400°C, производительность по гравитации 17,800 кт. в час. Топка котлов имеет 130 кг Остаповское с горючими окатышами, поверхность 130 кв. м. Остаповское—перфторезиновые остатки, фурмуки с механическим распыливанием.

Обмуровка котла первого типа, т.е. железнными листами с пазами из огнестойкой стали, ведется.

Котлы имеют водогрейные змеевикообразные и трубчатые воздухоподогреватели патента Байбак-Вильямс, дымососами и дутьевыми вентиляторами. Котлы этого типа являются пока самыми большими в СССР.

Для того, чтобы судить о размерах котлов, приводим его наружные габаритные размеры: ширина по фронту — 9,35 метра, длина — 7,7 м., высота от уровня пола до верха котла — 16 м.

Котлы предназначены для питания двух турбин Метро-Виккерс 17,800 кт. каждая. Интересно отметить, что, как выяснилось из эксплуатационной практики, один котел достаточно для питания однотипной турбины.

Турбины однодисковые, на давление 25 кг/см², при температуре пара до 380°C. Турбины имеют два отбора пара для подогрева питательной воды до 90°C и для питания генератора. Число оборотов — 3000 в минуту, генераторы синхронные, 6,6 квт., 0,75 кв. а. при регенерации — 5 квт.

Турбина состоит из 3 корпусов, причем в корпусе изнанкиого давления пар разделяется на две параллельные потоки и поступает в два конденсатора, расположенных под турбиной и поперек ее оси. Три корпуса турбин, генератор, вентиляторы для охлаждения генератора и возбудитель расположены на одном валу, так что общая длина турбогенератора составляет около 30 м. Турбина уже работает с нагрузкой до 41,000 кт.

В настоящее время рабочая мощность станции после выпуска этой турбины увеличилась вдвое (по мощности котлов) и достигла 35,600 кт.

Питание турбины паром производится от старой котельной, где дополнительно и ранее установлены 9 котлов Гарбье по 750 кв. м. установлены 3 котла того же типа Витковицкого завода по 1200 кв. м. Новая котельная из 8 котлов Гарбье по 1500 кв. м. для питания до полной мощности всей турбиной, кроме выпущенной турбины, так и такой же второй турбины, с установкой которой приступлено, — в настоящее время строятся.

Вторую турбину в 44,000 кт. предполагается спустить летом 1929 года.

Другую крупную работой, производимой на 1 МГЭС, является работа по монтажу нового центрального распределительного устройства 6,600 вольт. Монтаж устройства в настоящее время в промежутке 1928/29 году, здание, на котором оно будет установлено, уже подготовлено. Это здание было спроектировано для распределения по 38 городским фидерам энергии, получаемой от всех генераторов и преобразователей частоты, установленных на 1 Московской Станции, от трансформаторов Шатурско-Ильинской подстанции при МГЭС и от нового генератора 27,000 кт. в час, установленного на 1-й подстанции.

Распределительное устройство занимает 2 этаж. В 1-м этаже установлены кабельные, воронки, трепещательные, трансформаторы напряжения, испытательные шины и кепстронное устройство; во 2 этаже реактивные катушки фидеров и сепараторы. В 3-м этаже размещены различные машины и аппараты. В 4-м этаже размещены вспомогательные машины, Новое устройство практически начало работать в начале ноября, когда после поднятия шин с нуля были установлены в работе две секции из 4-х.

В настоящее время в новом устройстве присоединены: новый генератор, 27,000 кт. в час, трансформаторы трамвайной станции и часть городских фидеров. Все остальные машины и фидеры работают от старого самораспределительного устройства 6,600 вольт в помещении самой станции. Устройство соединено с новым помощью кабелей. Переход кабелей со старого устройства будет произведен постепенно.

Одновременно с указанными работами в специальном отведенном помещении на станции заканчиваются работы по монтажу нового штока управления, в котором сорасчеточное управление и контроль над работой всех генераторов, трансформаторов и т.д. будет производиться постепенно.

1) Описание этой последней установки дано в предыдущем № 4 Бюллетеня Инженерно-технических МОГЭС, в статье А. А. Юрина.

в эксплуатацию три понижательные подстанции: Колхуховская, Карабчаровская и Измайлowsкая. На всех этих трех подстанциях закончен монтаж распределительных устройств в виде киловольт, а также Ильинской подстанции, где кроме подстанции эти распределительные устройства выполнены в виде установок на открытом воздухе; а на Колхуховской подстанции это распределительное устройство помещается в старом переустроенном здании. Кроме распределительных устройств 106 кв. м. всех упомянутых подстанций в настоящий момент смонтировано и введено в эксплуатацию монтажные также распределительные устройства 33 и 4,5 кв. и щиты управления, причем на Измайлowsкой подстанции в текущем году производится все эти три работы. На Карабчаровской подстанции монтируется только щит управления, так как устройство для обработки изоляции и т.д. в здании, которое в настоящее время находится на бывший год, и на Колхуховской подстанции заканчивается монтаж распределительного устройства 33 кв. и щита управления распределительным устройством 33 кв. этой подстанции отсутствует по проекту.

2) На 1-й подстанции введен в эксплуатацию в этом же Московском высоковольтном кольце в текущем сезоне замкнули строительные работы по сооружению Сокольнической подстанции и построены и смонтированы временные подстанции в Бутырках и Филих. Последняя подстанция временно останется на напряжение 35 киловольт, так как кольцо, на которое усыпалось выше, построена пока только до подстанции в Бутырках.

3) На 2-й подстанции введен в эксплуатацию в этом же Московском высоковольтном кольце в текущем сезоне замкнули строительные работы по сооружению Сокольнической подстанции и построены и смонтированы временные подстанции в Бутырках и Филих. Последняя подстанция временно останется на напряжение 35 киловольт, так как кольцо, на которое усыпалось выше, построена пока только до подстанции в Бутырках.

4) Постройка и монтаж подстанции в Подликах для электрификации Северных ж. д. и постройка большой узловой подстанции на Сокольниках.

В общем все количество произведенных за год работ может быть охарактеризовано следующими техническими данными:

а) Полная длина линий только на железных опорах, построенных за текущий год составляет около 80 км.

б) Общая мощность смонтированных и включенных трансформаторов достигает 150,000 киловольтампер.

в) Общая сумма денежных затрат на произведенные в текущем сезоне работы достигает цифры 11,5 млн. руб., из них около 8 млн. рублей—расходы в СССР и около 3,5 млн. руб. импортное оборудование.

Однако суммарная распределенная мощность станций для покрытия этих нагрузок, особенно за последние месяцы значительно ниже предложенного и, таким образом, приводится покрытие нагрузки почти без всякого резерва.

На 15-е декабря мощность станций вероятно составит 240,000 кт., что несколько выше указанных в статье Б. А. Барсукова 244,000 кт. несмотря на то, что в статье Б. А. Барсукова 244,000 кт. не указано (за счет поборов на землю при строительстве Транзабора станции); при предположении максимума нагрузки на 15 декабря в 220,000 кт.—обединение будет иметь резерв в 20,000 кт.

Месяцы	Август 1928 г.			Сентябрь 1928 г.			Октябрь 1928 г.			Ноябрь 1928 г.			1-й декабрь 1928 г.
	Начало	Середина	Начало	Середина	Начало	Середина	Начало	Середина	Начало	Середина	Начало	Середина	
По графику приведенному в статье Б. А. Барсукова:	Максимум нагрузки в тыс. кт.	115	140	155	173	186	200	205	212	215			
	Суммарная мощность станций в тыс. кт.	136	158	174	179,5	224	234	234	234	234			
	Резерв оборудования в % от максимума:	18,0	1,4	12,3	3,5	26,5	17,0	14,1	10,4	15,5			
Фактические:	Максимум нагрузки в тыс. кт.	120	137	150	167	176	190	197	209	—			
	Суммарная мощность станций в тыс. кт.	132	155	168	173	190,5	194	200	214	—			
	Резерв оборудования в % от максимума:	10,0	18,1	12,0	9,5	7,7	2,1	1,5	2,4	—			

Из книг и журналов.

Первая установка 220.000 вольт в Европе.

В 1928 году в Германии построена линия 300.000 вольт от Кельна до Маннхайма. Линия—двойная (2 х 3 x 40) полая медь сечением 400 кв.мм. со внешним диаметром 42 мм; высота над землей 33—35 метров, размер наибольшей трансверсаля 42—45 метра. Конструкция линии такова, что в дальнейшем для перехода на 220.000 вольт потребуется возможность перехода на 380.000 вольт. Стоимость 1 километра линии около 100.000 германских марок (\$).

Линия построена германскими фирмами: Aluswerk und Eisenwerke Badische (¹), Siemens-Schuckert Werke ²) и Fa. Eiffel & Guillemin (фирма, первая работала под напряжением 220.000 вольт). К 1930 году линия пойдет вдоль побережья через Штутгарт и Боркенхайм до района Констанц (³ в австрийской Гирлянд), где сооружаются высоковольтные гидроэлектрические станции мощностью 300.000 киловатт ⁴. В сущности же линия, имеющая под напряжением 220.000 вольт для транспорта в Германию, производит 150.000 вольт, а в дальнейшем около 600.000 вольт часов в год в указанных гидроэлектрических станциях. Общая длина линии составляет около 600 километров.

Продление отдельных германских сетей 110.000 вольт к 220.000 вольт в большинстве случаев предполагается осуществляться через трансформаторы, имеющие напряжение 220.000/110.000 вольт. Фирма Siemens-Schuckert Werke заявила ⁵, что полное оборудование семи таких понижательных трансформаторных подстанций, в том числе 14 трехфазных трансформаторов 220.000/110.000 вольт, мощностью по 60.000 киловар, может охлаждаться трансформаторами искусственного, воздушного охлаждения, не требующими масла, но без охлаждающего устройства—180 тонн.

Помимо этому к этой же установке относятся три трехфазных трансформатора 110.000/220.000 вольт, мощностью по 38.000 киловар, разработанные фирмой Siemens-Schuckert Werke ⁶ охлаждением кипящим, заказанными фирмой Brown-Bovell & Cie ⁷.

При этом же понижении напряжения трансформаторы, такие как и указанные выше, Хоть трансформаторы предназначены для работы в системе с заземленной нейтралью, все же они по особому требованию изготавливаются с изолированной нулевой точкой, т.е. с изоляцией каждой фазы на 250.000 вольт по отношению к земле.

Н. П.

Гидравлическое удаление расплавленного шлака.

На станции Ницшле (США) с большим успехом осуществлялся интересный опыт удаления шлака из пылегуашей топки, когда топка в расплавленном виде, с дальнейшим его охлаждением, проходит и отходит на свалку в закрытой системе гидравлического удаления с различающимися водяными соплами. Пока установка станции Ницшле осталась единственной в своем роде, но блестящий успех ее работы обещает в будущем быстрое распространение этой системы удаления для котельных, снискавших пылевидное топливо с легковывалкой золы.

При расширении станции Ницшле на сей раз установлено 4 котла Бабко и Вильямса, поверхностью нагрева в 1.160 м² с колодезными пылегуашевыми топками. У трех из этих котлов топки имеют в плане форму квадрата со стороной 4,076 м. в нижней (колодезной) части и прямогульную форму в верхней части, кончающейся в 2,25 м. выше под топкой. Топка устроена по принципу системы Бебль, т.е. из водожажденных трубопроводов с циркуляцией горячей воды, по которой проходят котловые котлы на них надеты чугунные колодки с огнеупорной футеровкой, образующие гладкие изогнутые трубы в колодезной части, стоящий на 9 метров от конца котловых труб, установлен на стальных балках и состоит из стальной плиты, на которой положено 2 слоя огнеупорного кирпича, покрытых слоем

¹ E. T. Z. 1927, Heft 21, S. 717—721. R. Werner. Die Zukunftsplanung der Elektrizitätswirtschaft.

² AEG—Mittelangens.

³ Siemens-Zeitschrift 1928, № 10, S. 948.

⁴ Elektrizitätswirtschaft, 1928, № 469, S. 233. A. Pflueger, Ausbau der Vorarlberger Wasserkrafts und Energieübertragung nach Deutschland.

⁵ Siemens-Zeitschrift, 1928, Juni, S. 390.

⁶ BBC—Mittelangens—Bauleit 1928, Januar, S. 12.

жидкого доломита, толщиной в 150—200 мм. Эти топки работают с напряжением 330 киловольт час для всей топки (что эквивалентно 2.100 киловольт час для части, лежащей ниже форсунок).

Они устроены в установке в каждой сгоревшей колодезной топки на полути засыпку щебня и ссыпку охлаждаемой стены таким образом, чтобы вызвать застывание фасада.

Вследствие покрытия всей нижней части (включая под) огнеупорной футеровкой, удалось температуру топки понизить до такой величины, при которой зола плавится и падает непосредственно в колодезную часть котельной в колодезь.

Вследствие покрытия всей нижней части (включая под) огнеупорной футеровкой, удалось температуру топки понизить до такой величины, при которой зола плавится и падает непосредственно в колодезную часть котельной в колодезь.

На подложке образуется луга расплавленного шлака, который не затвердевает, виду высокой температуры сверху и отсутствия охлаждающих труб внизу.

Характеристика щебня и шлака в этой установке следующая:

Уголь (сухой)	Шлак
C — 55,30%	SiO ₂ — 44,52%
Летуч. 24,66%	Al ₂ O ₃ — 18,64%
A — 12,05%	Fe ₂ O ₃ — 21,20%
S — 2,85%	TiO ₂ — 0,79%
Точка плавления золы — ок. 1000°C	P ₂ O ₅ — 0,29%
	CaO — 1,33%
	MnO — 1,10%
	Si — 8%
	Neoppr. — 0,23%

При затвердевании шлака обладает низкой теплопроводностью, вследствие чего нижний его слой, благодаря охлаждению изнутри под топкой вторичного воздуха, образует хорошую изолирующую стену топки.

При высокой температуре, но ниже точки плавления, шлак плавкий и эластичный, как расплавленное стекло. При охлаждении он становится черным твердым телом, иногда с медным блеском и называется стеклом (фиг. 1).

При спуске по шлаковому желобу, шлак затвердевал снаружи и течение продолжалось сквозь центр массы, образуя трубку (фиг. 16).

Фиг. 1.

а — тонко-гранулированый щебень, полученный в системе гидравлического удаления; б — трубка оставшегося шлака, образующаяся вокруг текущего по желобу жидкого шлака.

После многочисленных неудачных попыток удаления жидкого шлака в вагонетках, наполненных водой, был испробован гидравлический способ удаления, состоявший в том, что под шахтой были установлены 3 горизонтальных наклонных желоб из 300, мм шлаковой бандажной стали под углом 80°. Сверху желоб омывался струей из 4—6 дюймовых сопел. Шлак из этой системы выгружался в желобах. Одновременно с этим, начиная с выходом из окончательной системы золоудаления, производилась гидравлическая, которая была принята для постоянной установки, как в опытах, так и в окончательном виде, была запроектирована и выполнена фирмой Форбс.

Для спуска шлака, пробивают конец шлангов (фиг. 3). Под на jakiлом желобом, по которому расплавленный шлак стекает из топки, установлены 3 первичных водяных сопла, выбрасывающие параллельные струи воды.

которые образуют, благодаря тесной установке сопел, сплошной винтажной струи огнестойкой изолированной камеры (фиг. 3). Распыление шлака, падая на этот водяной стол, разбивается. Затем шлак уносится поперек здания котельной в U-образном желобе, под действием двух

дверей.

Для выпуска шлака из 4 котлов требуется работа 2 человека в продолжение 3 часов сменно.

Описанная выше установка дает удачное разрешение проблемы скининга пыли многоизолионных топлив с легкоплавкими золями.

(Power, № 18, 1928 г., стр. 704).

М. На.—а.

Расширение электрической станции Golpa-Zschögnitz.

Электрическая станция Golpa-Zschögnitz (Германия), построенная в 1915 году на общую мощность 125.000 киловатт, на станции было установлены восемь турбогенераторов, имеющие суммарную мощность 35.000 киловатт. На подстанции в 1928 году была установлена новая турбогенераторная установка на 35.000 киловатт. Для расширения станции была установлена новая турбогенераторная установка на 35.000 киловатт. Для расширения станции в 1928 году была установлена новая турбогенераторная установка на 35.000 киловатт.

В настоящий момент производится дальнейшее расширение станции I. Установка 35 киловатт. Для расширения станции II установка 35 киловатт. Для расширения станции III установка 35 киловатт. Для расширения станции IV установка 35 киловатт.

В настоящий момент производится дальнейшее расширение станции I. Установка 35 киловатт.

Большая станция Golpa-Zschögnitz в 1915 году состояла из 8 котлов типа 1915 г. для размещения такого числа котлов типа 1915 года потребовалась бы котельная площадью 280 × 80 метров. Установка новых котлов потребовала размещения их в котельной площадью 100 × 50 метров.

Поэтому котельная осталась без изменения; новые котлы, как и старые, будут работать при давлении 18 атмосфер.

Турбогенератор 35.000 киловатт (известный фирмой Brown-Bovell & Cie)—один из самых мощных в Европе. Особенность этого турбогенератора следующая:

1. Одновальный агрегат 1.500 оборотов в минуту.

2. Наружная турбина гидроагрегата, реактивного типа.

3. Пар в цилиндре 1.650 атмосфер—30°C.

4. Мощность агрегата,

а) экономически наилучший способ — 75.000 кват.

б) при нормальной температуре (20°C) охлаждающей воды . . . 85.000 . . .

в) при повышенной температуре (30°C) охлаждающей воды . . . 80.000 . . .

5. Отбор пара в двух местах; конденсат подается в

6. Для конденсатора типа Brown-Bovell & Cie и два циркуляционных насоса с приводом от паровых турбин.

7. Турбогенератор гидроагрегата тока 100.000 киловатт-ампер.

8. Общая длина турбогенератора 80 метров, ширина 5 метров.

Н. П.

Эксплуатационный опыт с паром высокого давления и высокой температуры.

Доказательства высокого давления и высокой температуры.

Доказательства высокого давления и высокой температуры.

Пять лет тому назад, когда еще опыт с паром высокого давления был незначительным, в статье «Работа центр. ст. с паром высокого давления и высоким перегревом с точки зрения экономичности» много было рассмотрено влияние повышения температуры и давления на котел, турбогенератор и парогенератор. Высокое давление и перегрев вызывают сжигание топлива в процессе горения и вспышки паров в центральных станциях. Я принял к выполнению, что работал с давлением от 84 кг/см² до 106 кг/см² высокое давление не существует без особого груза; работа же с температурой, превышающей точку перегрева, допускается в то время, когда парогенераторы в процессе горения сжигают топливо в парогенераторах и парогенераторах центральных станций. Я принял к выполнению, что работал с давлением от 84 кг/см² до 106 кг/см² высокое давление не существует без особого груза; работа же с температурой, превышающей точку перегрева, допускается в то время, когда парогенераторы в процессе горения сжигают топливо в парогенераторах и парогенераторах центральных станций. Я принял к выполнению, что работал с давлением от 84 кг/см² до 106 кг/см² высокое давление не существует без особого груза; работа же с температурой, превышающей точку перегрева, допускается в то время, когда парогенераторы в процессе горения сжигают топливо в парогенераторах и парогенераторах центральных станций.

Я старался собрать сведения обо всех установках высокого давления, находящихся в настоящее время в эксплуатации.

При каждом боегодяте и разнообразии материала (каковы лигнины относятся к эксплуатации).

1) E. T. Z. 1928, Heft 21, S. 717—721. R. Werner. Die Zukunftsplanung der Elektrizitätswirtschaft.

2) Siemens-Zeitschrift 1928, № 10, S. 948.

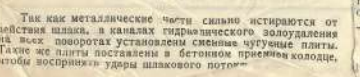
3) E. K. Mittelangens.

4) Elektrizitätswirtschaft, 1928, № 469, S. 233. A. Pflueger, Ausbau der Vorarlberger Wasserkrafts und Energieübertragung nach Deutschland.

5) Siemens-Zeitschrift, 1928, Juni, S. 390.

6) BBC—Mittelangens—Bauleit 1928, Januar, S. 12.

Фиг. 3.



Такие металлические части сильно изгибаются от действия шлака, выпадающего из трубы. Поэтому для изгиба металлической части винтажной струи, сопла должны быть сделаны из специальных материалов, имеющих меньшую склонность к изгибу.

Такие же плиты поставлены в бетонном приемном колодце, чтобы воспринять удары шлакового потока.

1) B. T. Z. 1928, Heft 40, S. 1495—Energiewirtschaft.

2) E. & M.—1928, Heft 37, S. 914. Die grösste Turbogruppe in Europa.

плотинционным периодом до 20.000 часов) было бы полезно выяснить, насколько действительность оправдала мои выводы в статье от 1922 г. С этой целью я рассмотрел отчеты комитета по первичным двигателям, протоколы заседаний международного союза по выработке и распределению электрической энергии, а также статьи членов американских технических обществ, к первичному материалу присоединились еще письма отдельных работников с установкой высокого давления. Все эти отчеты постоянно подтверждают, что затруднения при работе с обычными давлениями в 14 кг/см², которые возникают в установках с парогенераторами, никаким особым затруднением работы с паром высокого давления и обычными типами оборудования, сделанным только соответствием более мощности, не являются. Затруднения встречаются только в работе экономиков, изобретателей высоких парогенераторов стеклом, но не котлами. Таким образом, можно считать доказанным, что на множестве установок высокого давления не было констатировано почти никаких нежелательных явлений; многие отчеты отмечают при этом увеличение устойчивости работы.

Результаты опыта показывают применение вышеупомянутых принципов.

Все работники эксплуатации без исключения признают, что применение пара высокого давления оправдывается результатами, как в тепловом, так и в экономическом отношении; многие станции расширяются даже в частях высокого давления. Такие расширения производятся становками, неся на основную нагрузку, и станциями, работающими с отработавшим паром. Весьма характерно использование отработавшего пара для производственных целей, где турбина играет роль редукционного калорифера.

Понадобому при этих условиях дополнительное учреждение специального оборудования для осуществления применения высокого давления было очень велико. Стоимость топлива на различных станциях колеблется от 10 кг/см² (4 р. 80 к.) до 8 доллар. (15 р. 50 к.) за тонну, но видимо эта разница не имеет большого влияния на экономическую сторону данного вопроса, так как все станции независимо от стоимости топлива, констатируют повышение рентабельности.

Легко заметить моменты, которые, как предполагалось, при высоком давлении должны были доставить ряд затруднений; к таким относятся работы предохранительных клапанов, герметичность разъемных трубок в барабанах, работа барабанов при изменении температуры, положение воды в барабанах при изменении температуры. Опыт показал, что существующие предохранительные клапаны оказались так же надежны, как и установленные на более низком давлении, так что последние были выбраны.

Непредвиденные затруднения.

Часто отмечались нежелательные явления с прокладками у люков, устраивавшихся довольно быстро. Посты на этих люках были зафиксированы затруднения с питательными насосами, которые хотя и были исправлены, но с меньшей легкостью, чем предполагалось. В установках с водогенераторами стеклами также отмечены посты на станицах; они прекратились, когда стали применять более массивную и тщательнее расчитанную арматуру. Несколько раз отмечена достаточная герметичность арматуры, но эта недостаточность может быть объяснена тем, что в первые годы работы котлы не были тщательно устроены, как это делается и ранее, когда стандартным было давление 14 кг/см². Очень многие отчеты указывают на то, что испытывалось захватывание паром металлических трубок, ведущих к турбине, вследствие чего происходило отложение влаги в сепараторах и паровых поплавках. Каким образом переносится эта частная сила неизвестно, но известно, что когда жесткость котельной воды надлежащим образом снижена, указанное явление не имеет места.

Отсутствие затруднений с турбинами.

Задержания с турбинами были обычного характера в турбинах европейской конструкции главным недостатком

была вибрация, сильная, менее сильная и разрушительная, чем в более крупных турбинах. Были предприняты попытки с узловыми турбинами, которые были устроены путем небольшого изменения в конструкции; никаких особых осложнений, вызванных применением высокого давления, не встречено, были исключены деформации сопел, стоящих близко к рабочим лопаткам, особенно высоким перегревом. Машин для давлений, превышающих 42 кг/см², не было и прочие; самая большая из построенных до сих пор имеет мощность 10.000 квт. Возможность осложнений с турбинами очень мала. Во многих отчетах отмечено, что вода в барабанах, вода в турбинах и соплах, а также внутренней поверхности корытообразующихся действию пара высокого давления. Это явление понадобилось однажды с излечением образования тонкого красновато-коричневого слоя окиси на внутренних покровах турбин, турбогенераторов, перегревателя пары высокого давления. Отмечено, что для излечения перегрева очень крепко пристегиваются к стеклам. Понадобому этот слой не удаляется с течением времени и действует, как предохранительная оболочка. Из рассмотренных отчетов отмечено, что работы турбин с давлением 84 и 140 кг/см² затруднения не встречаются. Одна установка высокого давления работает с температурой пара 400°C, превышающей обычную температуру в 375-400°C. Электрическая станция Langerbruecke из объединения Сантальс Кирстриг в дер. Ландерб., где нормальная температура перегрева равна 450°C, имеет перегреватели, в которых при производстве остроты одного из перегревателей на этой станции она работала с называемой температурой уже два года, течеро же этот срок длился до 4-х лет. Несколько другой станций указывают, что им спорадически допускались, периодически в течение нескольких часов, температуры от 425 до 530°C без последующих осложнений. В отчетах отмечается, что отсутствует на производившую замену исходящий из барабана пар, который не поддается перегреву; однако эта замена не была вызвана неподчинением применением высокого давления и температуры, она бывает необходима в установках высокого давления, не чаще, чем в установках с давлением 14-30 кг/см².

Клапаны барабанов не применяются для работы с давлением выше 45 кг/см² ни на одной станции из имеющихся станций Langerbruecke, где были отмечены некоторые неприменимости с пропуском шлангов. Эти барабаны будут заменены сильфонами или коваными. Все остальные установки барабаны, которые применяют или кованые, или сильфонные барабаны, или же соединяют сильфонами. Такие котлы, как Бензона, или Атак, требуют только коллекторов, в которых же Нигитапа и Геффе барабаны помещаются вдали от пламени и нагреваются изнутри через перегреватель пар.

Заключение.

Понадобому с эксплуатацией установок, применением которых до 240 кг/см², никаких особых затруднений не имеется.

Четыре года опыта по работе с перегревателями из обычной стали при температуре пара до 450°C показали, что подобная работа вполне возможна и удобна, так как никаких новых затруднений она не вызывала.

Станции указывают, что вода в барабанах, вода в турбинах, короткие и длинные части из стальных сплавов могут удовлетворять значительно более высоким требованиям, чем те, которые до сих пор к ним предъявлялись. Коллеги строительные фирмы уверяют, что они могут гарантировать службу названных частей при температуре до 400°C.

Станции указывают в своих отчетах, что применение высокого давления дает экономию как в тепловом, так и в экономическом отношении; это подтверждается с увеличением числа заказов на соответствующее оборудование.

Числовых данных о стоимости работы с высоким давлением из них не было получено; мы можем также указать, что такое экономичное давление и температуру для отдельных случаев.

Сокр. перев. Т. С.

(Power 1928 V. 67 № 8.)

Ответственный редактор М. А. Смирнов

Редакторская коллегия: Я. П. Ветчинин,

П. Г. Гудинский.

Издатель: Инженерный МОГЭС.

Мосгублит № 2882.

4-я тип. «Мосполиграф», Армянская пер., д. 6, зд. № 10.

Тираж 1.000 экз.

БЮЛЛЕТЕНЬ ВЫХОДИТ РАЗ В 2 МЕСЯЦА.

ЧЕН А: А) ОТДЕЛЬНОГО НОМЕРА

1 Р. 50 к.

Б) ПРИ ПОКУПКЕ ИЛИ ВЫПISKE НЕ МЕНЕЕ 5 ЭКЗЕМПЛАРОВ НЕПОСРЕДСТВЕННО СО СКЛАДА ИЗДАТЕЛЬСТВА СНИДКА 20%/. ПЕРЕСЫЛКА ЗА СЧЕТ ЗАКАЗЧИНА.

В) ПРИ ВЫПISKE НЕ МЕНЕЕ 10 ЭКЗЕМПЛАРОВ НЕПОСРЕДСТВЕННО СО СКЛАДА ИЗДАТЕЛЬСТВА СНИДКА 20%/. ПЕРЕСЫЛКА ЗА СЧЕТ ИЗДАТЕЛЬСТВА.

СКЛАД ИЗДАТЕЛЬСТВА:

МОСКВА, Раушская набережная, д. № 8, здание Правления МОГЭС, 4-й этаж, комн. 22.
Телефон 2-62-50, добавочный 75.

СТАТЬИ, ЗАМЕТКИ И ПРОЧИЙ МАТЕРИАЛ ДОЛЖНЫ ПРЕДСТАВЛЯТЬСЯ В РЕДАКЦИЮ В ДВУХ ЭКЗЕМПЛАРЯХ, НАПЕЧАТАННЫХ НА ПИШУЩЕЙ МАШИНКЕ С ОДНОЙ СТОРОНЫ ЛИСТА.

ГРАФИЧЕСКИЙ МАТЕРИАЛ (РИСУНКИ, ЧЕРТЕЖИ И ПРОЧ.) ДОЛЖЕН БЫТЬ ИСПОЛНЕН СОВЕРШЕННО ОЧЕРТИЛЮ ЧЕРНОЙ ТУШЬЮ НА БЕЛОЙ БУМАГЕ ИЛИ КАЛЬКЕ. ДОПУСКАЕТСЯ ПРИСЫЛКА ФОТОГРАФИЙ, СВЕТОКОПИИ НЕ ДОПУСКАЮТСЯ.

ВСЕ МАТЕРИАЛ, ОТНОСЯЩИЙСЯ К СТАТЬЕ ИЛИ ЗАМЕТКЕ, ДОЛЖЕН ПОСТУПАТЬ В РЕДАКЦИЮ ОДНОВРЕМЕННО С ТЕКСТОМ.

ОГЛАВЛЕНИЕ
ДЛЯ ПРИЧИСЛЕНИЯ К СОСТАВУ ВСЕХ ЧИСЛЕННЫХ ВЫПУСКОВ ГОДА
АВТОРЫ ДАЮТ СВОИ ПОДПИСИ. ВСЕ ПОДПИСИ
СОБРАНЫ В ОДИН СВОЙ СОСТАВ И ПРЕДСТАВЛЕНЫ ВЪ
СВОЕМЪ ПОДСВѢЧНИКѢМЪ ВЪ МОНОГРАФІИ
СЪ ТЕМЪ, ЧТО БЫ БЫЛО ПОДЪРОЖНОЕ ДЛЯ
СВѢДЕЧЕСТВОВАНІЯ

Цена отдельного номера 1 р. 50 к.